

Einführung in Visual Computing

186.822

Wiederholung und Übung

Werner Purgathofer

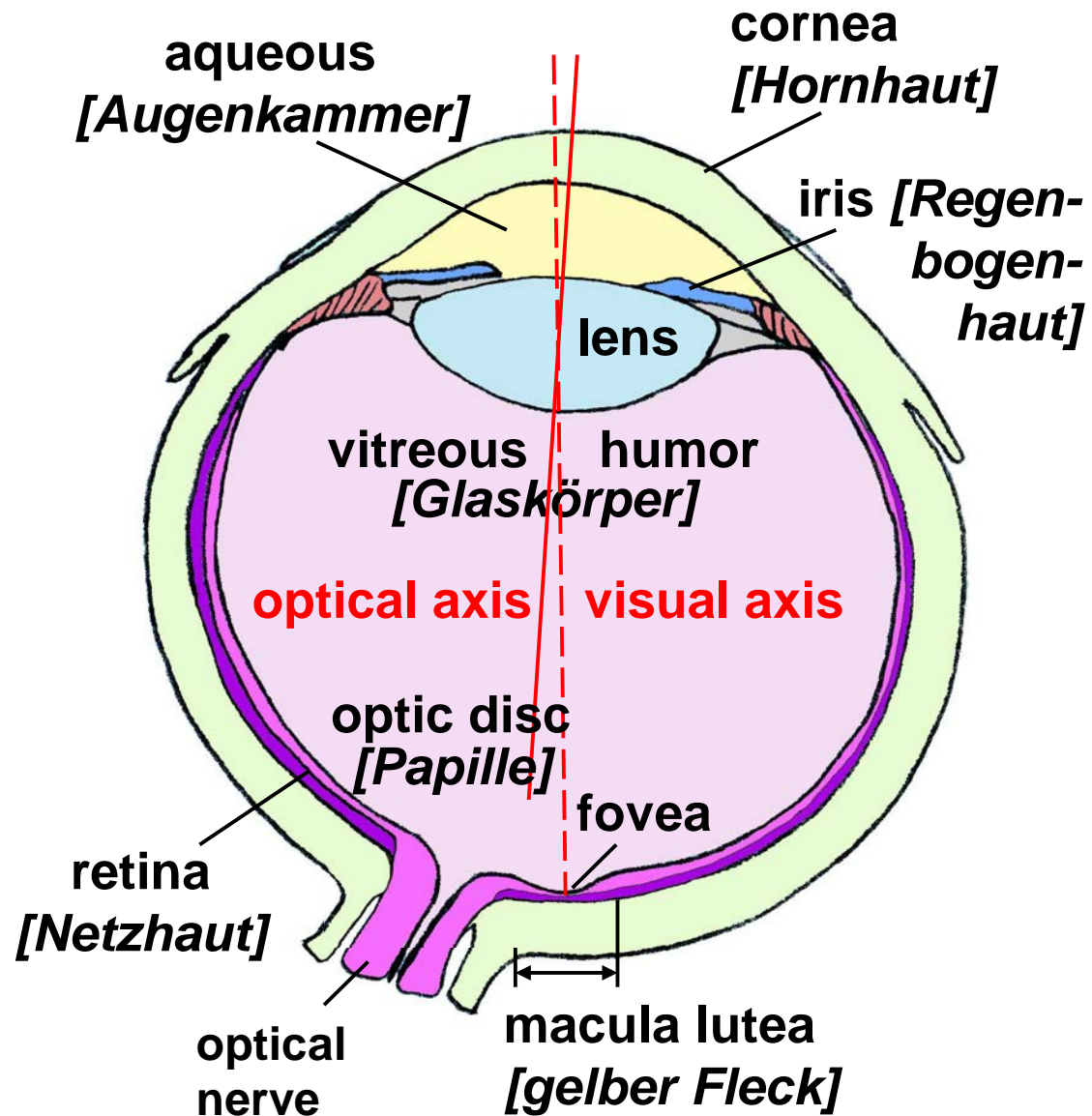


- Donnerstag 6.4. 18 Uhr
- Hörsaaleinteilung auf Webseite unter “Aktuelles”
- *keine* Unterlagen erlaubt:
 - kein Skriptum, keine Folienkopien
 - kein Computer, Pad, Handy
 - kein programmierbarer Taschenrechner
 - kein Nachbar!
- *einfache* Taschenrechner und *unkommentierte* Formelsammlungen erlaubt
- Bewertung der wahr/falsch-Fragen:
 - Pluspunkte wenn richtig
 - Minuspunkte wenn falsch
 - aber nie weniger als Null pro Fragenblock

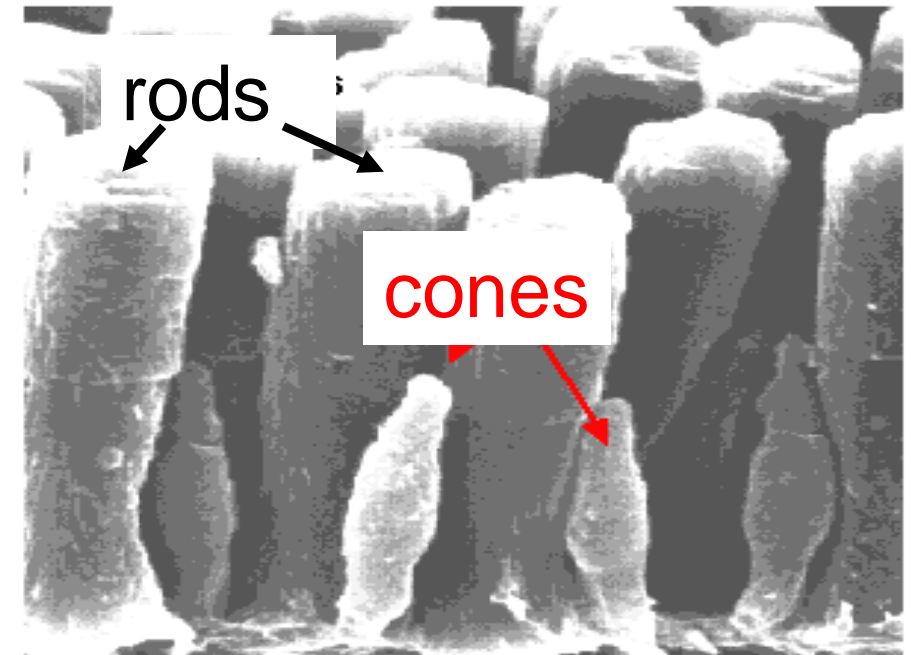


- Die Netzhaut des Auges enthält Stäbchen für das Helligkeits-Sehen und 3 Zapfenarten für das Farbsehen. ☐ **wahr** ☐ **falsch**
- Rot-grün-blinde Personen sehen nur die Farben Rot und Grün. ☐ **wahr** ☐ **falsch**
- Licht mit höherer Frequenz hat eine kleinere Wellenlänge. ☐ **wahr** ☐ **falsch**
- Die Purpurlinie des CIE-Chromaticitydiagramms besteht aus spektralreinen Farben. ☐ **wahr** ☐ **falsch**
- Drucker verwenden das _____-Farbmodell.





- retina contains
 - rods: b/w
 - cones: color

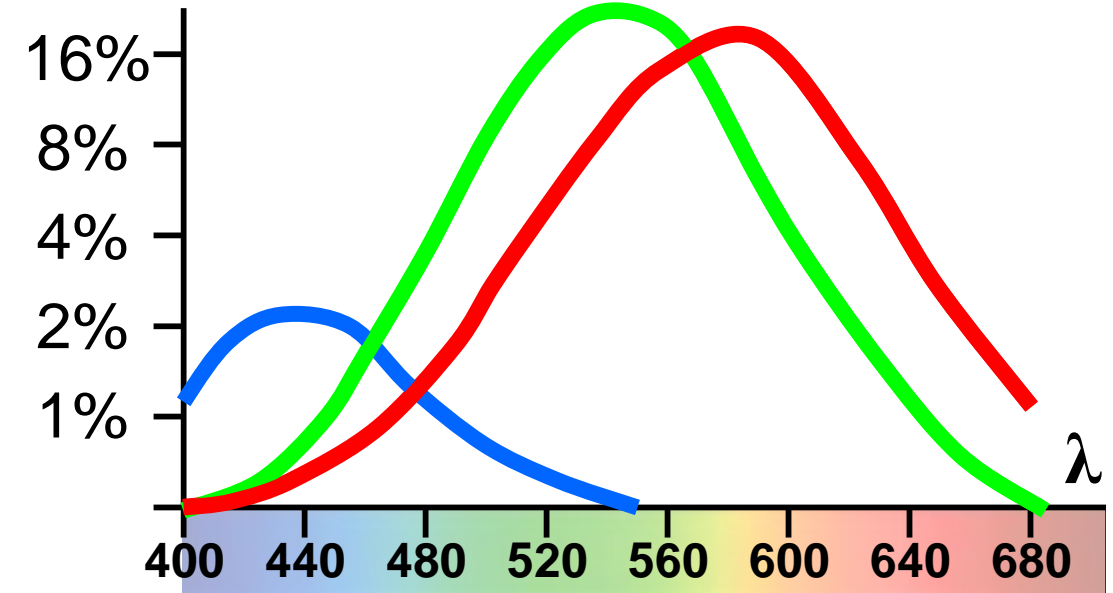


- 3 types of cones

- different wavelength sensitivities:

- red
- green
- blue

fraction of absorbed light



- Die Netzhaut des Auges enthält Stäbchen für das Helligkeits-Sehen und 3 Zapfenarten für das Farbsehen. ☒ **wahr** ☐ **falsch**
- Rot-grün-blinde Personen sehen nur die Farben Rot und Grün. ☐ **wahr** ☐ **falsch**
- Licht mit höherer Frequenz hat eine kleinere Wellenlänge. ☐ **wahr** ☐ **falsch**
- Die Purpurlinie des CIE-Chromaticitydiagramms besteht aus spektralreinen Farben. ☐ **wahr** ☐ **falsch**
- Drucker verwenden das _____-Farbmodell.



- red/green blindness

- red & green cones too similar

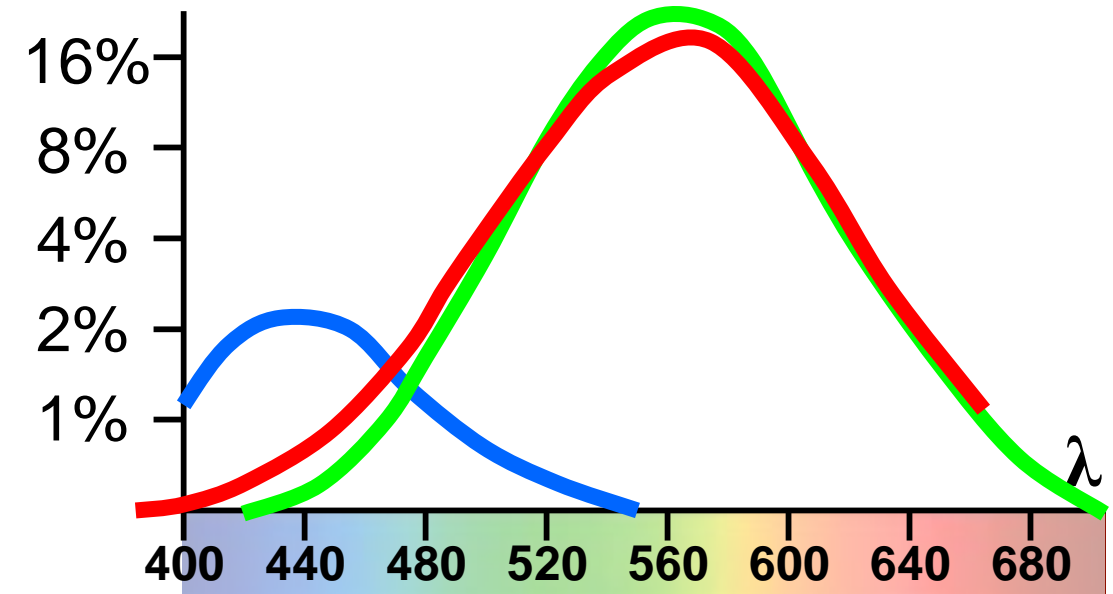
- blue blindness

- no blue cones

- monochromatism

- all cones missing

*fraction of
absorbed light*



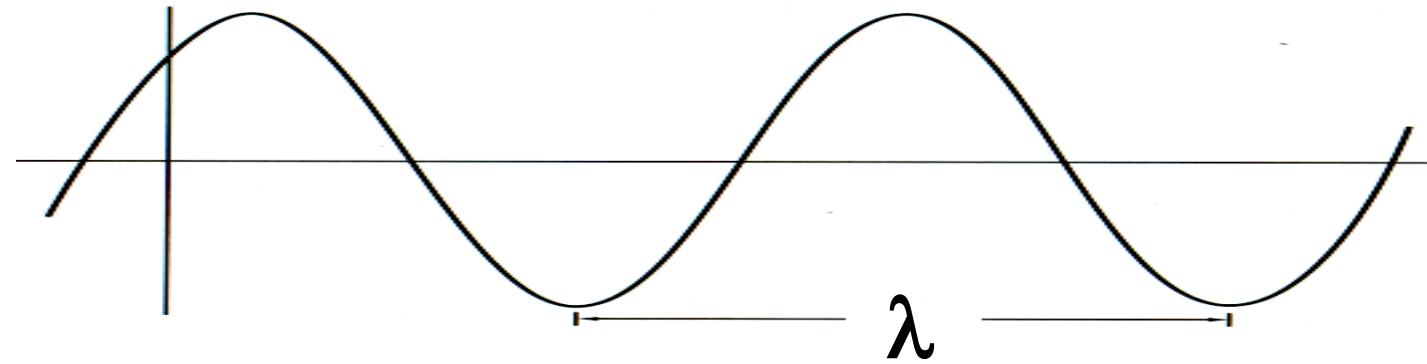
- Die Netzhaut des Auges enthält Stäbchen für das Helligkeits-Sehen und 3 Zapfenarten für das Farbsehen. ☒ **wahr** ☐ **falsch**
- Rot-grün-blinde Personen sehen nur die Farben Rot und Grün. ☐ **wahr** ☒ **falsch**
- Licht mit höherer Frequenz hat eine kleinere Wellenlänge. ☐ **wahr** ☐ **falsch**
- Die Purpurlinie des CIE-Chromaticitydiagramms besteht aus spektralreinen Farben. ☐ **wahr** ☐ **falsch**
- Drucker verwenden das _____-Farbmodell.



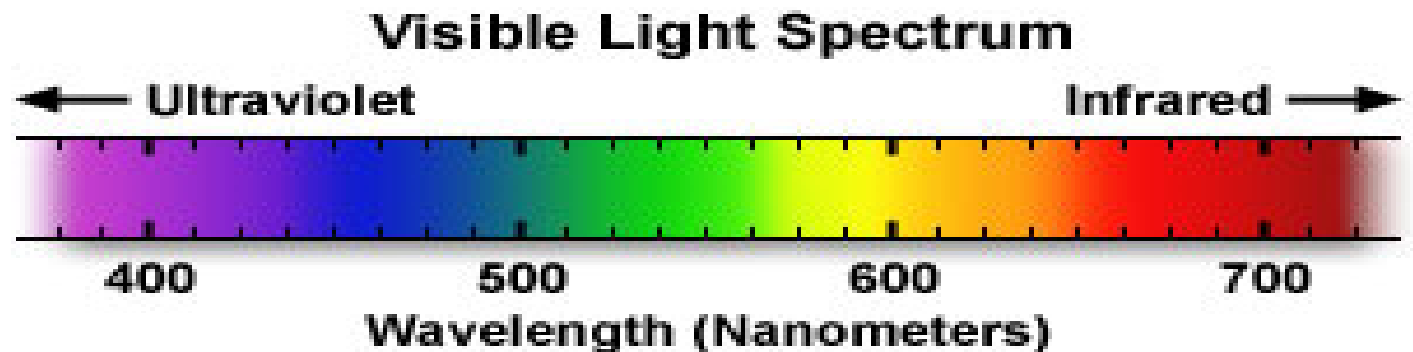
Light - An Electromagnetic Wave

- light is electromagnetic energy
- monochrome light can be described either by frequency f or wavelength λ
- $c = \lambda \cdot f$ (c = speed of light)

- shorter wavelength equals higher frequency

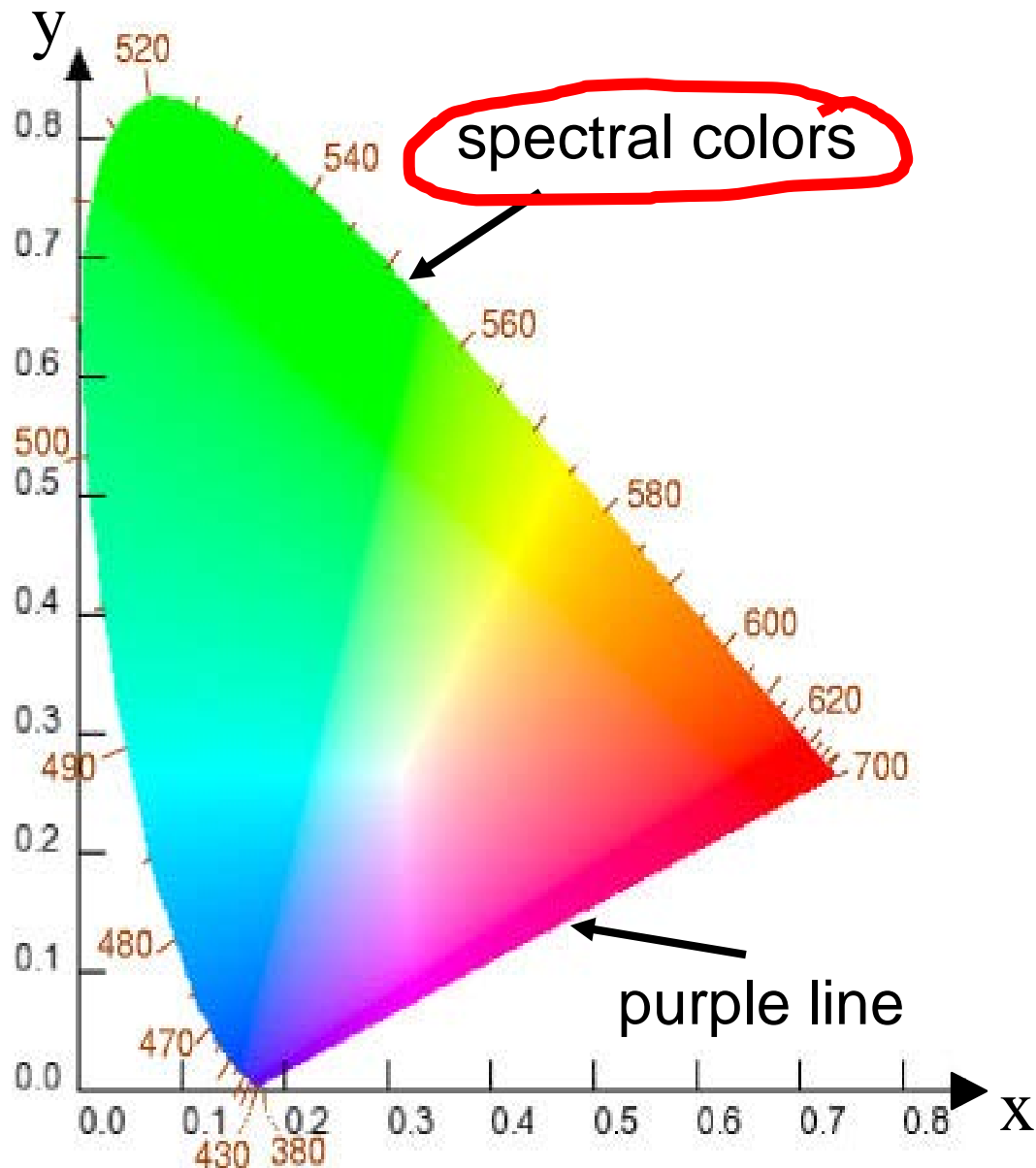


- red ≈ 700 nm
- violet ≈ 400 nm



- Die Netzhaut des Auges enthält Stäbchen für das Helligkeits-Sehen und 3 Zapfenarten für das Farbsehen. ☒ **wahr** ☐ **falsch**
- Rot-grün-blinde Personen sehen nur die Farben Rot und Grün. ☐ **wahr** ☒ **falsch**
- Licht mit höherer Frequenz hat eine kürzere Wellenlänge. ☒ **wahr** ☐ **falsch**
- Die Purpurlinie des CIE-Chromaticitydiagramms besteht aus spektralreinen Farben. ☐ **wahr** ☐ **falsch**
- Drucker verwenden das _____-Farbmodell.





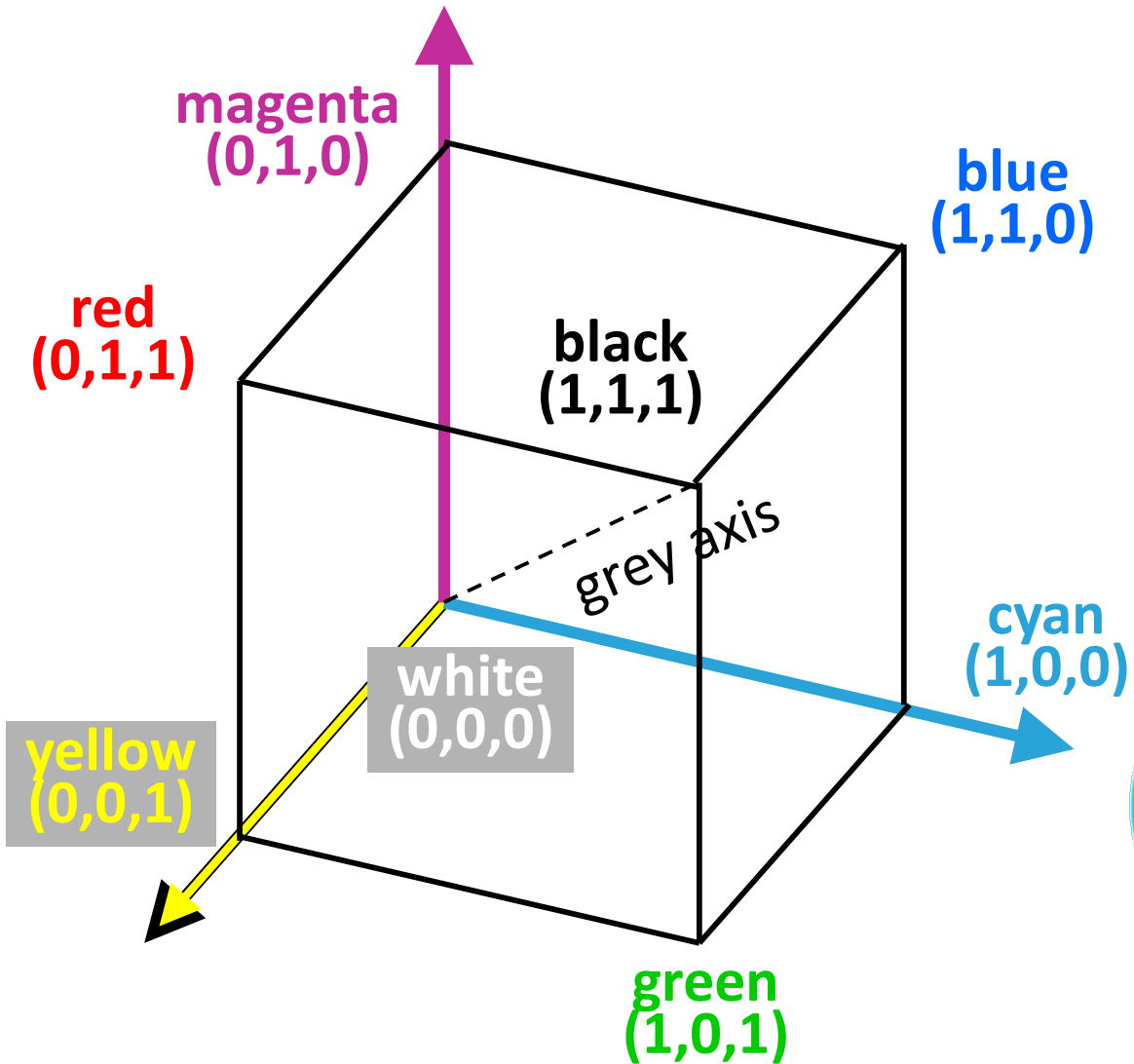
- identifying complementary colors
- determining dominant wavelength & purity
- comparing color gamuts

spectral color positions are along the boundary curve

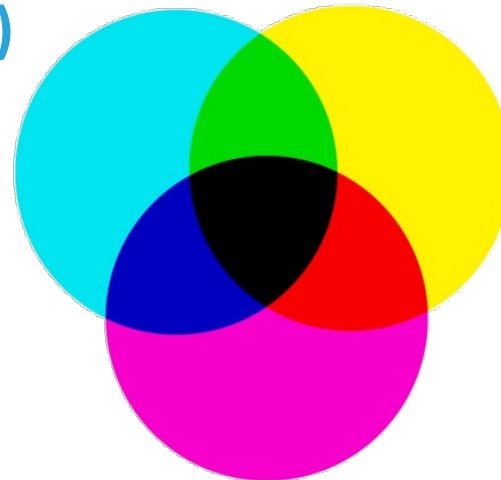


- Die Netzhaut des Auges enthält Stäbchen für das Helligkeits-Sehen und 3 Zapfenarten für das Farbsehen. ☒ **wahr** ☐ **falsch**
- Rot-grün-blinde Personen sehen nur die Farben Rot und Grün. ☐ **wahr** ☒ **falsch**
- Licht mit höherer Frequenz hat eine kürzere Wellenlänge. ☒ **wahr** ☐ **falsch**
- Die Purpurlinie des CIE-Chromaticitydiagramms besteht aus spektralreinen Farben. ☐ **wahr** ☒ **falsch**
- Drucker verwenden das _____-Farbmodell.





- primary colors:
cyan, magenta, yellow
- **subtractive** color model
(for *hardcopy devices*)
 - $C = G + B$, using C “subtracts” R



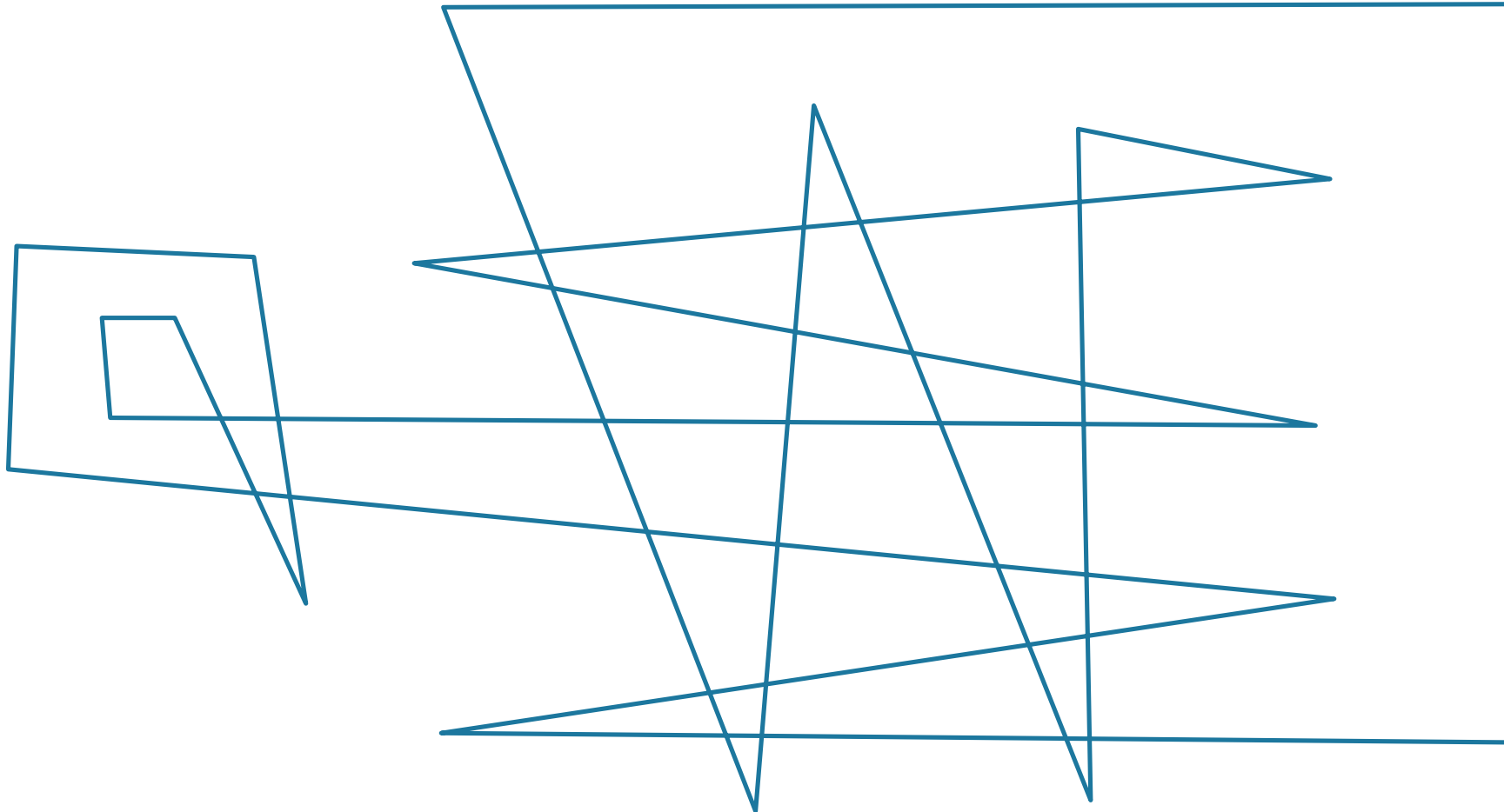
$$\begin{bmatrix} C \\ M \\ Y \end{bmatrix} = \begin{bmatrix} 1 \\ 1 \\ 1 \end{bmatrix} - \begin{bmatrix} R \\ G \\ B \end{bmatrix}$$



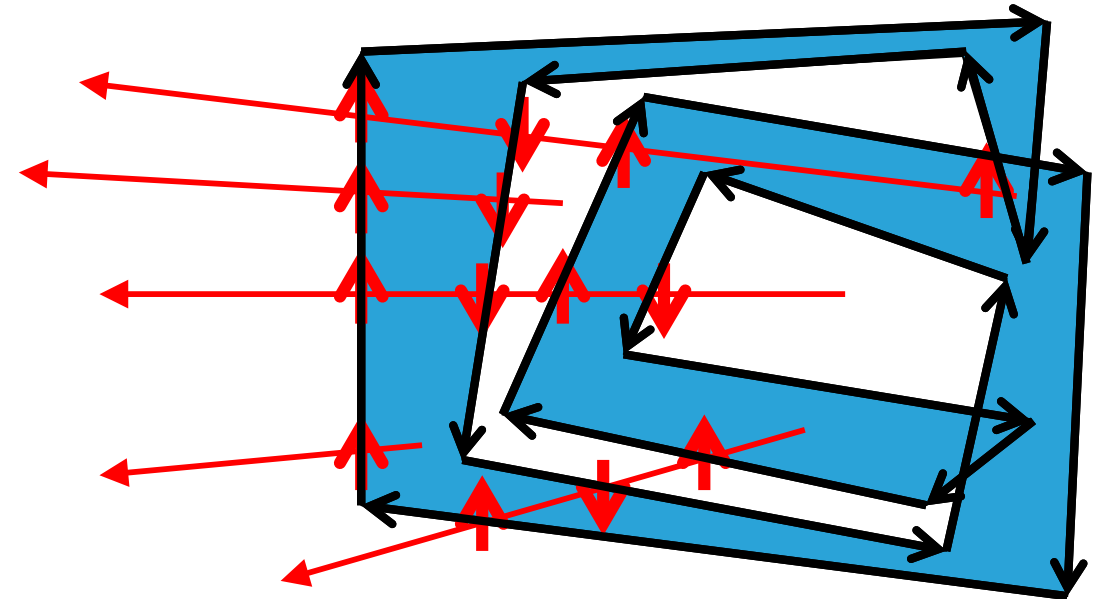
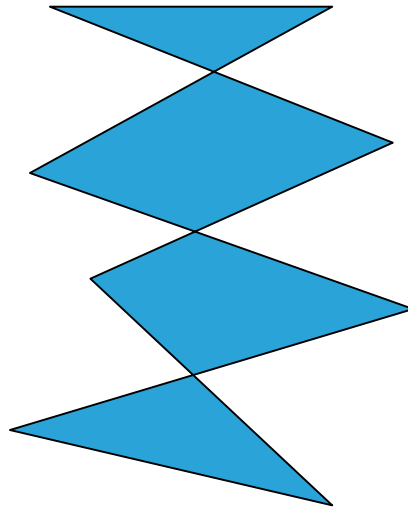
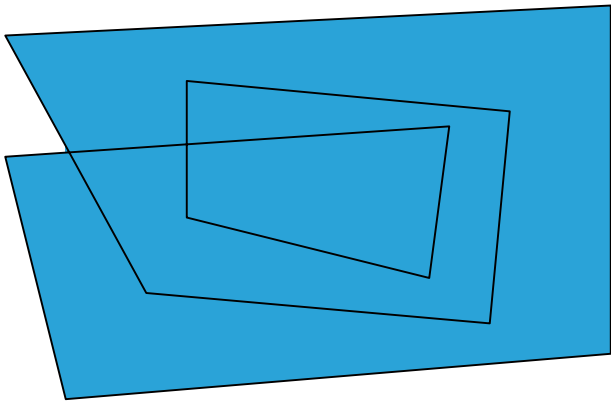
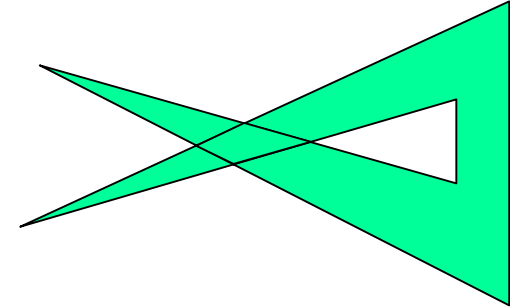
- Die Netzhaut des Auges enthält Stäbchen für das Helligkeits-Sehen und 3 Zapfenarten für das Farbsehen. ☒ **wahr** ☐ **falsch**
- Rot-grün-blinde Personen sehen nur die Farben Rot und Grün. ☐ **wahr** ☒ **falsch**
- Licht mit höherer Frequenz hat eine kürzere Wellenlänge. ☒ **wahr** ☐ **falsch**
- Die Purpurlinie des CIE-Chromaticitydiagramms besteht aus spektralreinen Farben. ☐ **wahr** ☒ **falsch**
- Drucker verwenden das CMY(K)-Farbmodell.



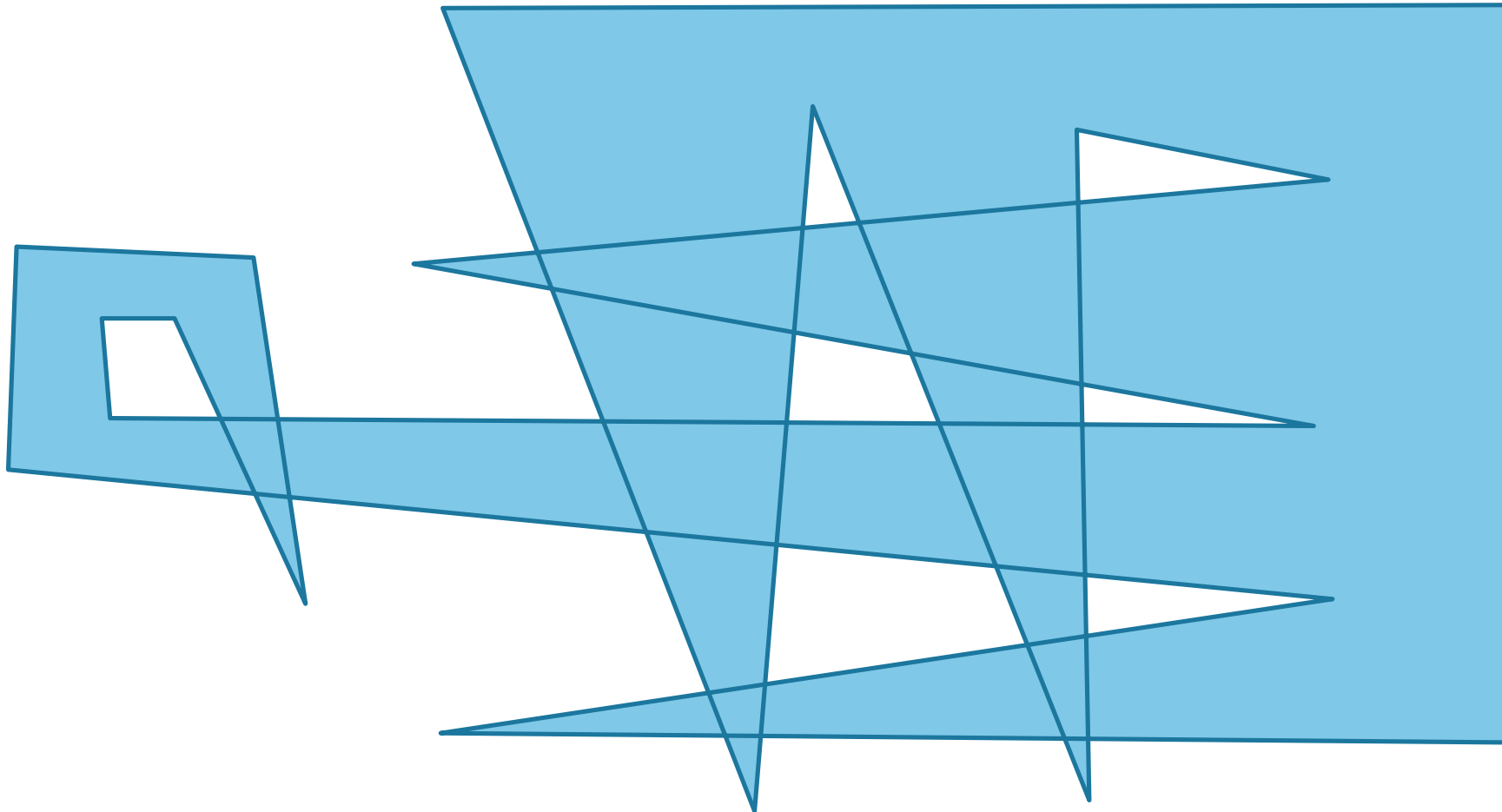
Füllen Sie das Polygon nach der Non-Zero-Winding-Number Regel!



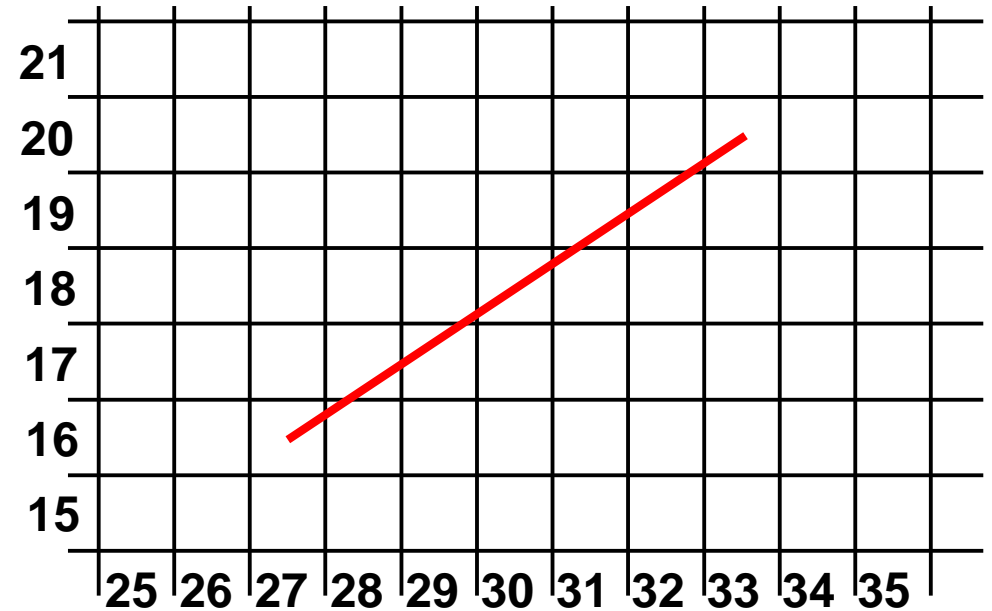
- point is inside if polygon surrounds it
- straight line to the outside:
 - same # edges up and down = outside
 - different # edges up and down = inside



Lösung



Zeichnen Sie die vom
Bresenham-Verfahren
erzeugten Pixel ein und geben
Sie die Werte der
Entscheidungsvariablen an!



$$p_0 = 2\Delta y - \Delta x$$

if $p_k < 0$

then draw pixel (x_k+1, y_k) ;

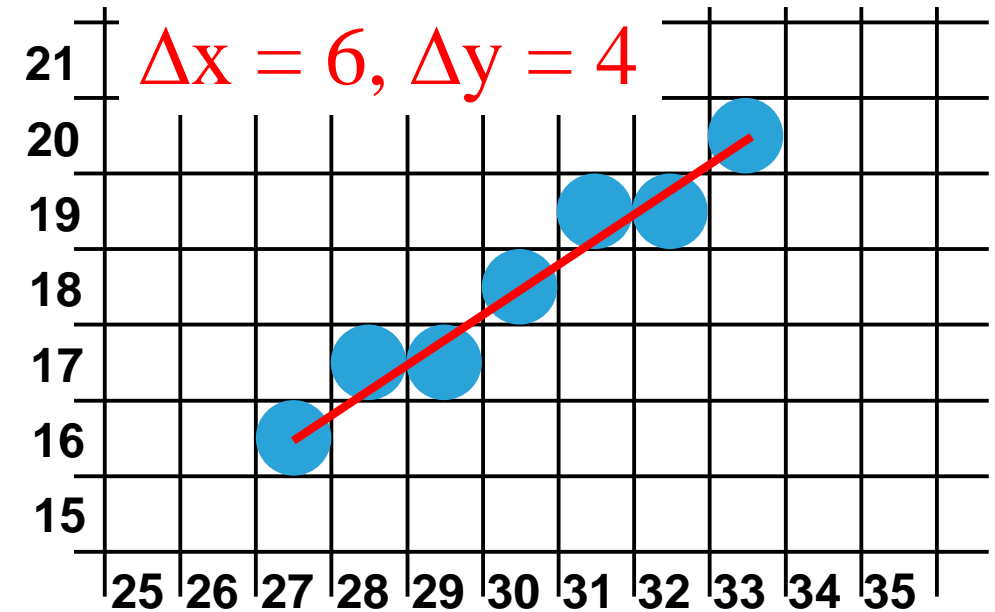
$$p_{k+1} = p_k + 2\Delta y$$

else draw pixel (x_k+1, y_k+1) ;

$$p_{k+1} = p_k + 2\Delta y - 2\Delta x$$



k	p_k	(x_{k+1}, y_{k+1})
		$(27, 16)$
0	2	$(28, 17)$
1	-2	$(29, 17)$
2	6	$(30, 18)$
3	2	$(31, 19)$
4	-2	$(32, 19)$
5	6	$(33, 20)$



$$p_0 = 2\Delta y - \Delta x = 2$$

if $p_k < 0$

then draw pixel (x_k+1, y_k) ;

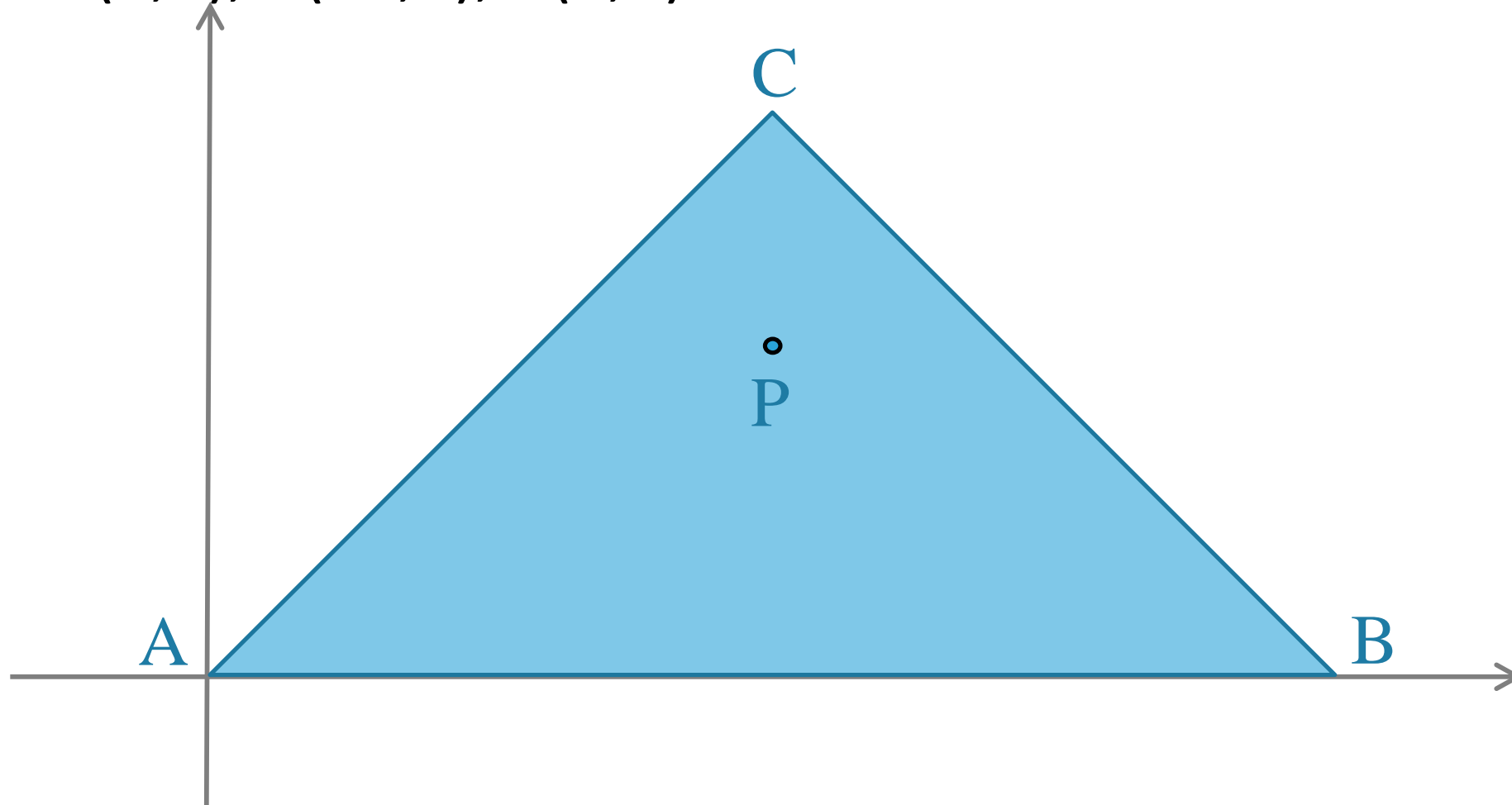
$$p_{k+1} = p_k + 2\Delta y + 8$$

else draw pixel (x_k+1, y_k+1) ;

$$p_{k+1} = p_k + 2\Delta y - 2\Delta x - 4$$



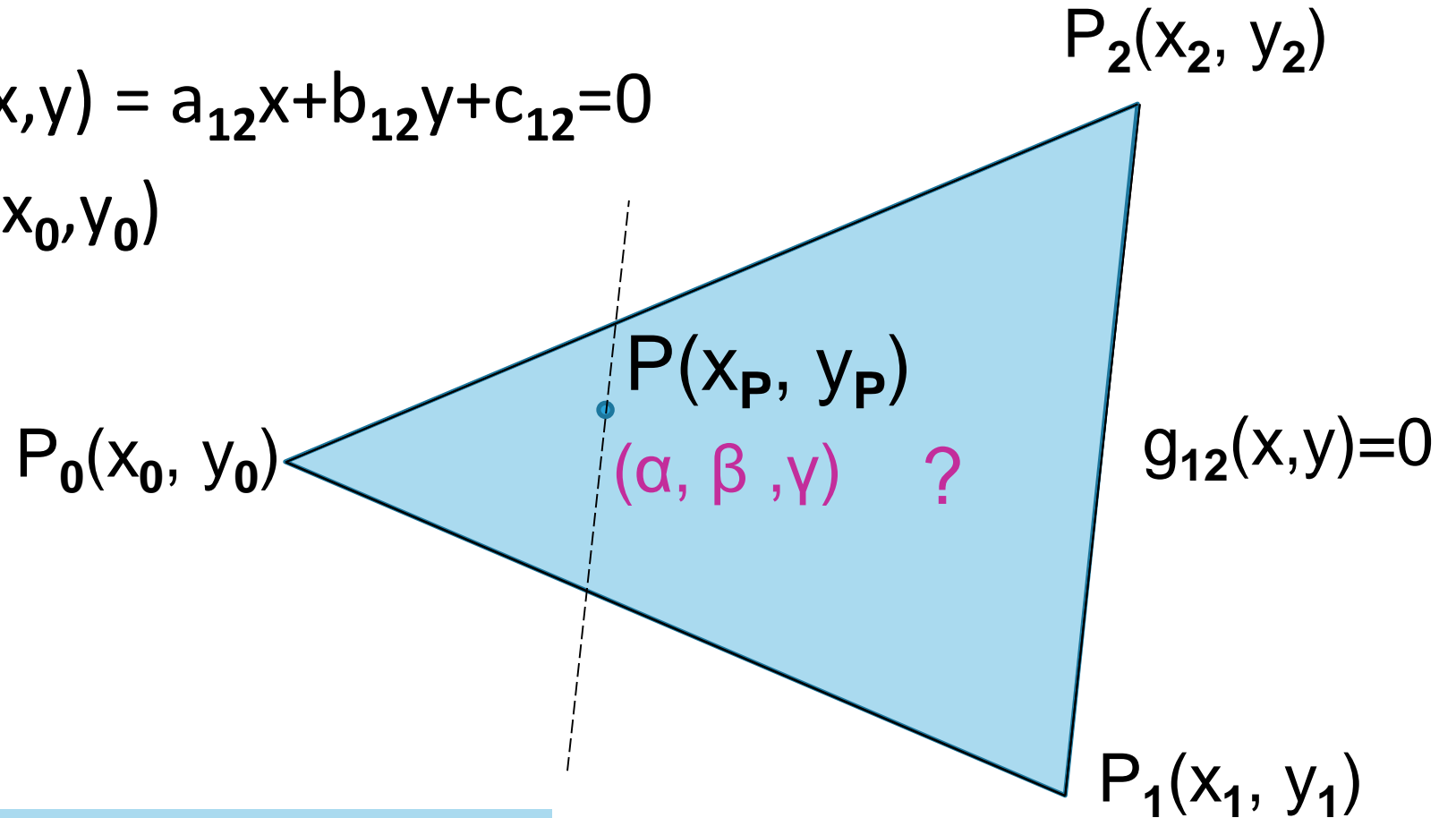
Welche baryzentrischen Koordinaten hat der Punkt $P(5,3)$ im Dreieck $A(0,0)$, $B(10,0)$, $C(5,5)$?



line through P_1, P_2 : $g_{12}(x,y) = a_{12}x + b_{12}y + c_{12} = 0$

then $\alpha = g_{12}(x_P, y_P) / g_{12}(x_0, y_0)$

β, γ analogous

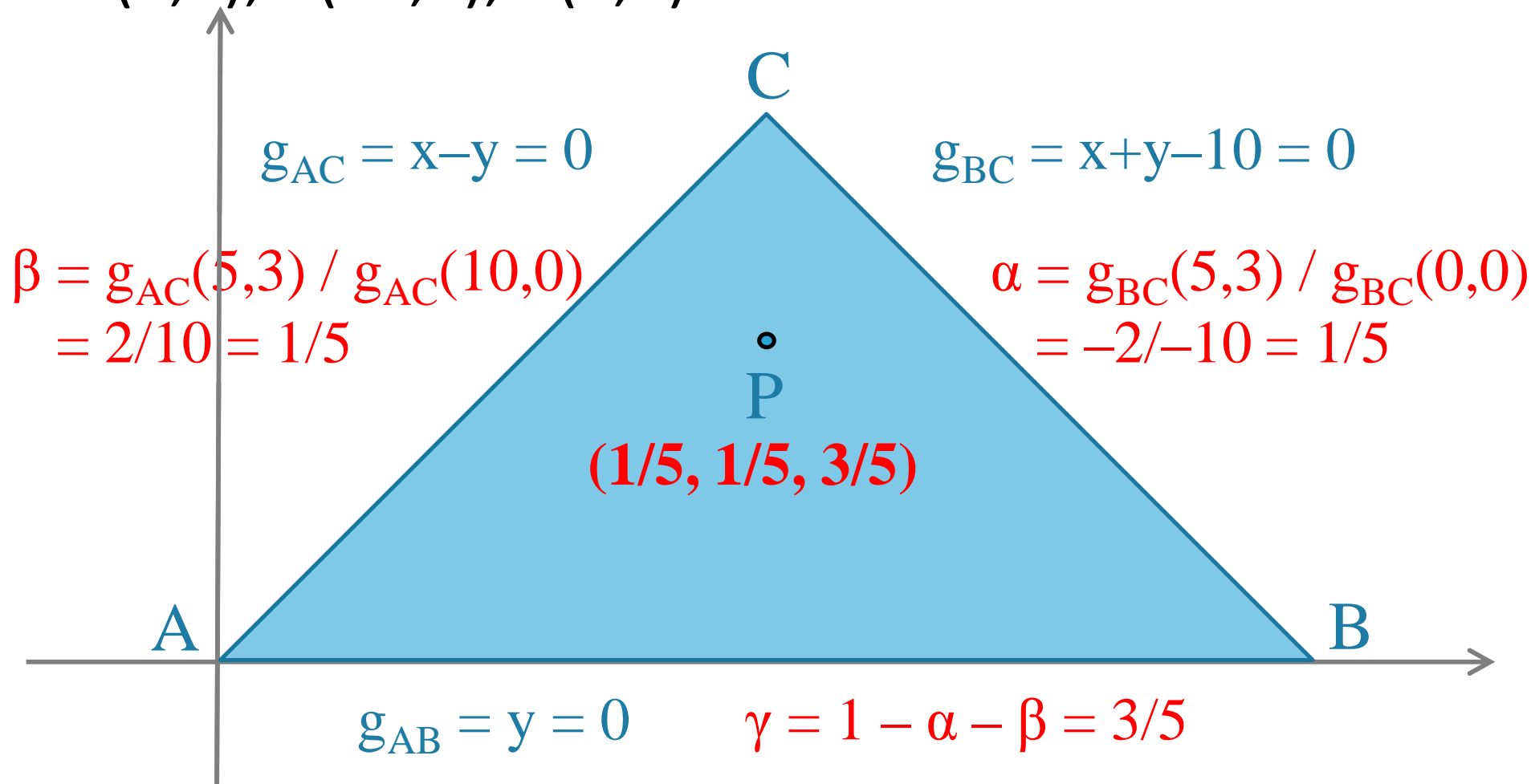


$$P = \alpha P_0 + \beta P_1 + \gamma P_2$$

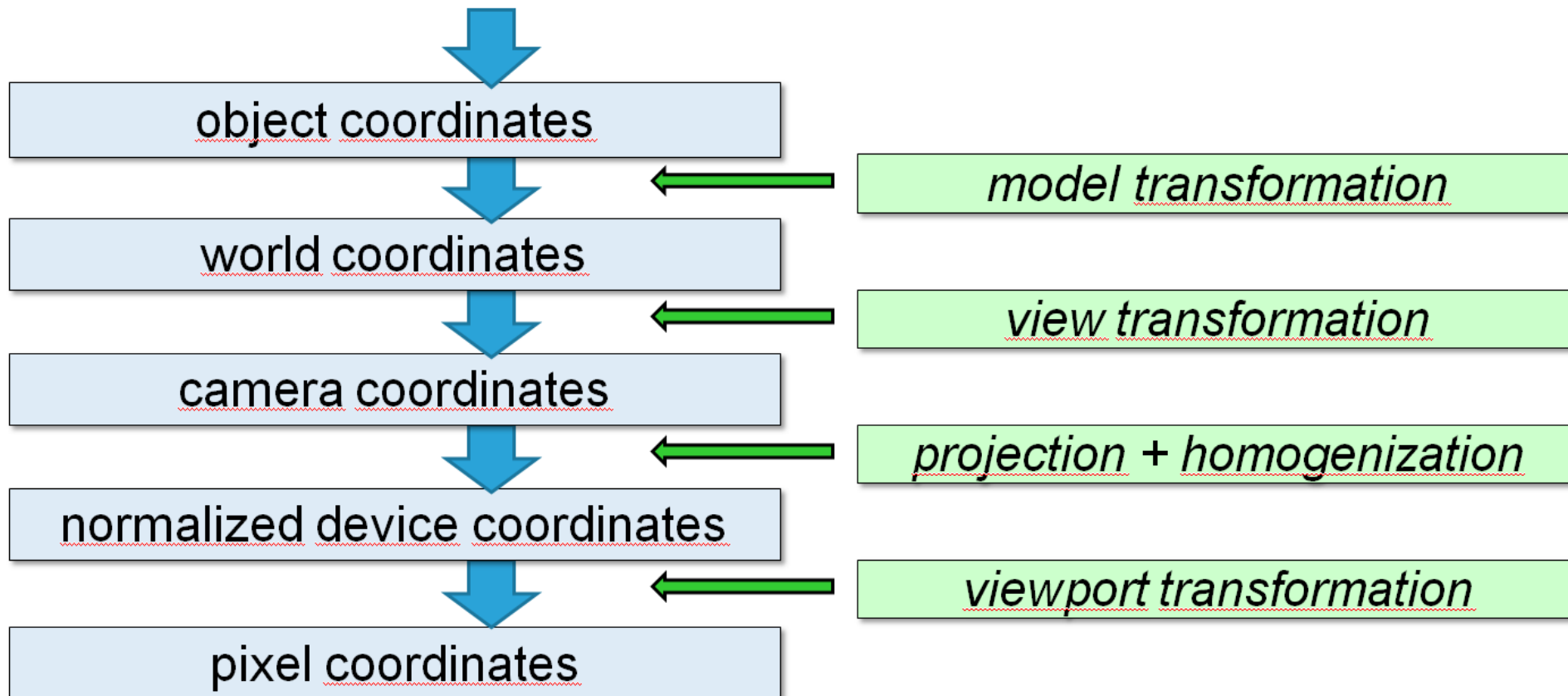
triangle = $\{P \mid \alpha + \beta + \gamma = 1, 0 < \alpha < 1, 0 < \beta < 1, 0 < \gamma < 1\}$



Welche baryzentrischen Koordinaten hat der Punkt $P(5,3)$ im Dreieck $A(0,0)$, $B(10,0)$, $C(5,5)$?



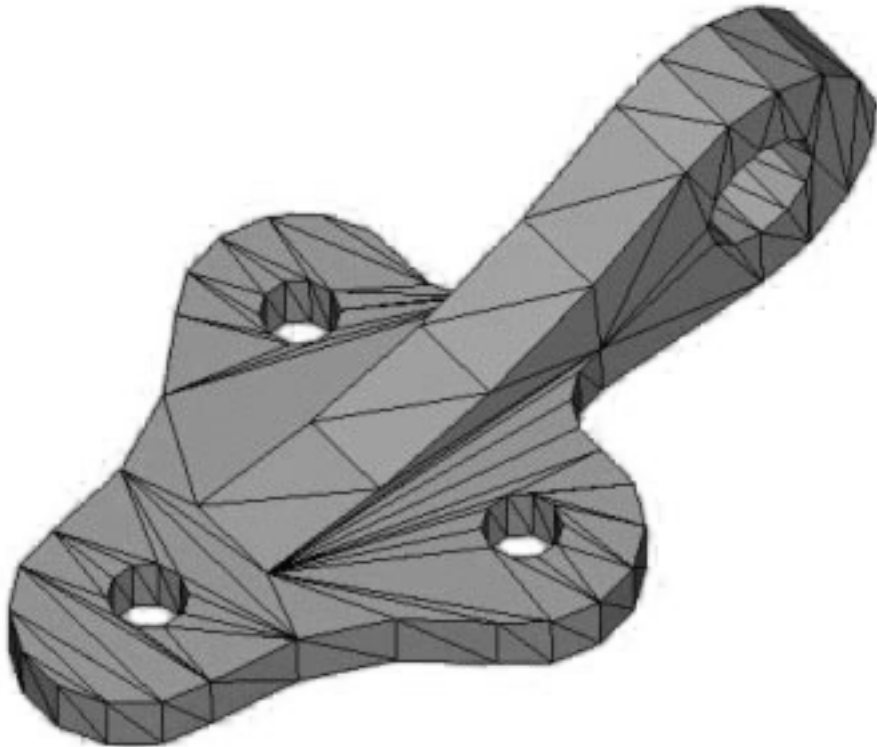
- Nach der View-Transformation befindet man sich im
✗ Kamera- ☐ **Objekt-** ☐ **Pixelkoordinatensystem**



- Bei einer B-Rep wird nur die Oberfläche der Objekte beschrieben.
☐ **wahr** ☐ **falsch**
- CSG-Objekte werden durch die Operatoren Vereinigung, Durchschnitt und Mengendifferenz beschrieben. ☐ **wahr** ☐ **falsch**
- Der einzige Weg um CSG-Objekte zu zeichnen ist sie in BRep-Objekte umzurechnen. ☐ **wahr** ☐ **falsch**
- Ein Szenengraph ist eine genormte Datenstruktur zum Austausch geometrischer Daten. ☐ **wahr** ☐ **falsch**



- set of surface polygons enclose object interior
= *Boundary Representation*
("B-Rep")



*example:
machine part surface
represented by triangles*



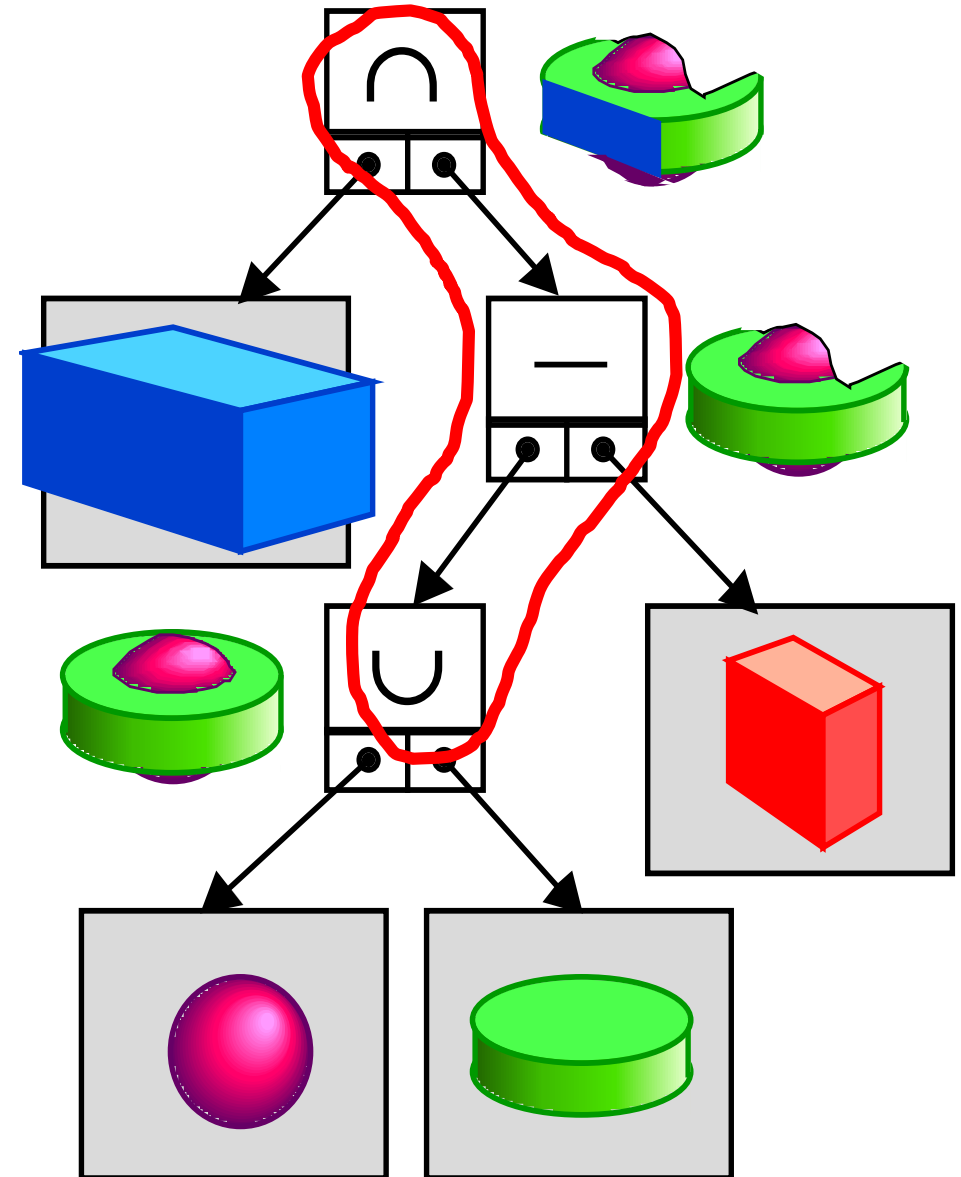
- Bei einer B-Rep wird nur die Oberfläche der Objekte beschrieben.
☒ **wahr** ☐ **falsch**
- CSG-Objekte werden durch die Operatoren Vereinigung, Durchschnitt und Mengendifferenz beschrieben. ☐ **wahr** ☐ **falsch**
- Der einzige Weg um CSG-Objekte zu zeichnen ist sie in BRep-Objekte umzurechnen. ☐ **wahr** ☐ **falsch**
- Ein Szenengraph ist eine genormte Datenstruktur zum Austausch geometrischer Daten. ☐ **wahr** ☐ **falsch**



Every object is assembled from
simple solids with
set operations

data structure: **binary tree**

recursive evaluation



- Bei einer B-Rep wird nur die Oberfläche der Objekte beschrieben.
☒ **wahr** ☐ **falsch**
- CSG-Objekte werden durch die Operatoren Vereinigung, Durchschnitt und Mengendifferenz beschrieben.
☒ **wahr** ☐ **falsch**
- Der einzige Weg um CSG-Objekte zu zeichnen ist sie in BRep-Objekte umzurechnen.
☐ **wahr** ☐ **falsch**
- Ein Szenengraph ist eine genormte Datenstruktur zum Austausch geometrischer Daten.
☐ **wahr** ☐ **falsch**



- transform into B-Rep and use normal hidden surface algorithm
- or
- render directly with ray casting (or with ray tracing)



- Bei einer B-Rep wird nur die Oberfläche der Objekte beschrieben.
☒ **wahr** ☐ **falsch**
- CSG-Objekte werden durch die Operatoren Vereinigung, Durchschnitt und Mengendifferenz beschrieben.
☒ **wahr** ☐ **falsch**
- Der einzige Weg um CSG-Objekte zu zeichnen ist sie in BRep-Objekte umzurechnen.
☐ **wahr** ☒ **falsch**
- Ein Szenengraph ist eine genormte Datenstruktur zum Austausch geometrischer Daten.
☐ **wahr** ☐ **falsch**

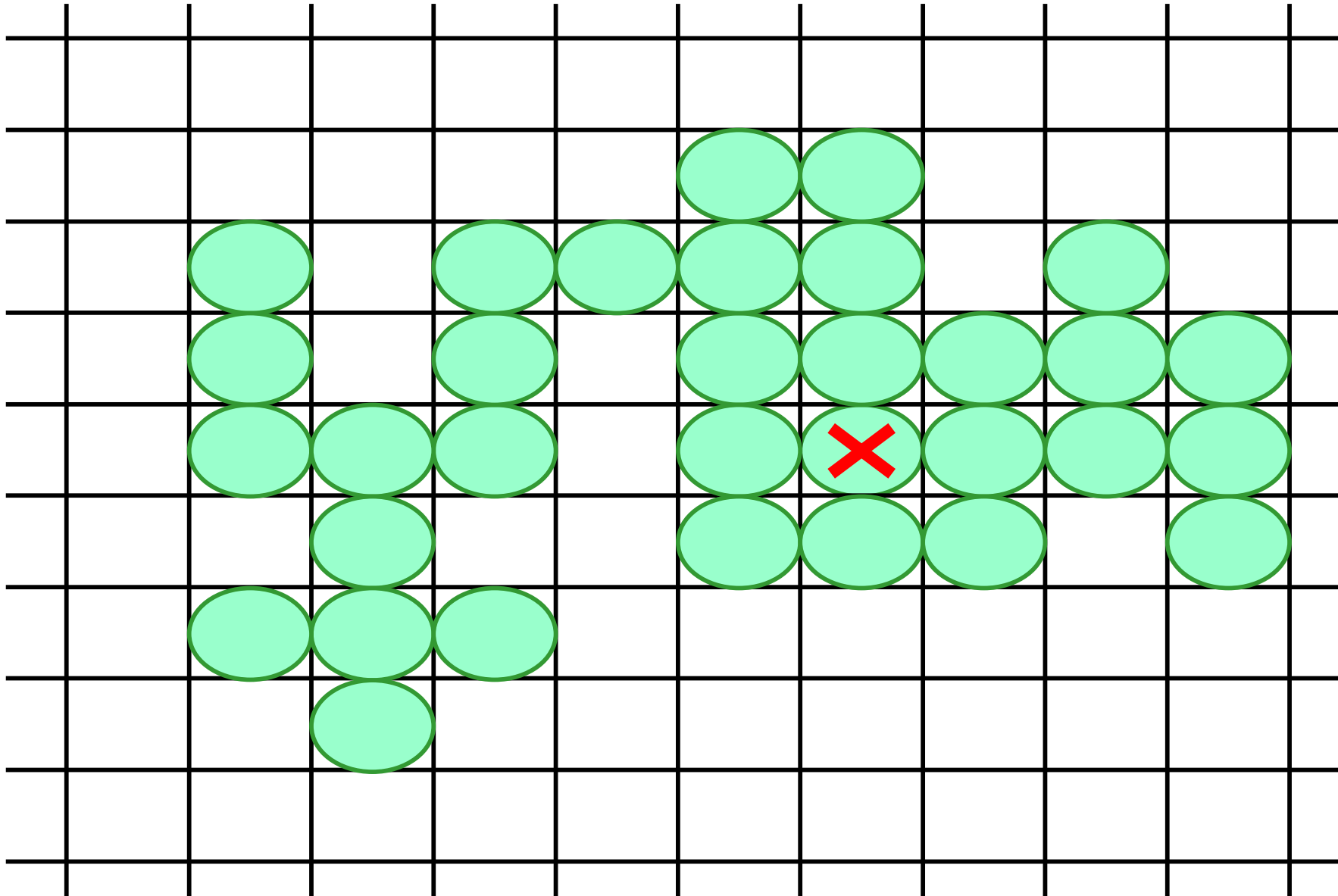


- object-oriented data structure
 - directed acyclic graph
- describes logical and/or spatial relationship of scene objects
- describes groups of (groups of ...) objects
- no exact definition
- used in most graphics systems, e.g.
 - OpenSceneGraph
 - VRML
 - X3D ...



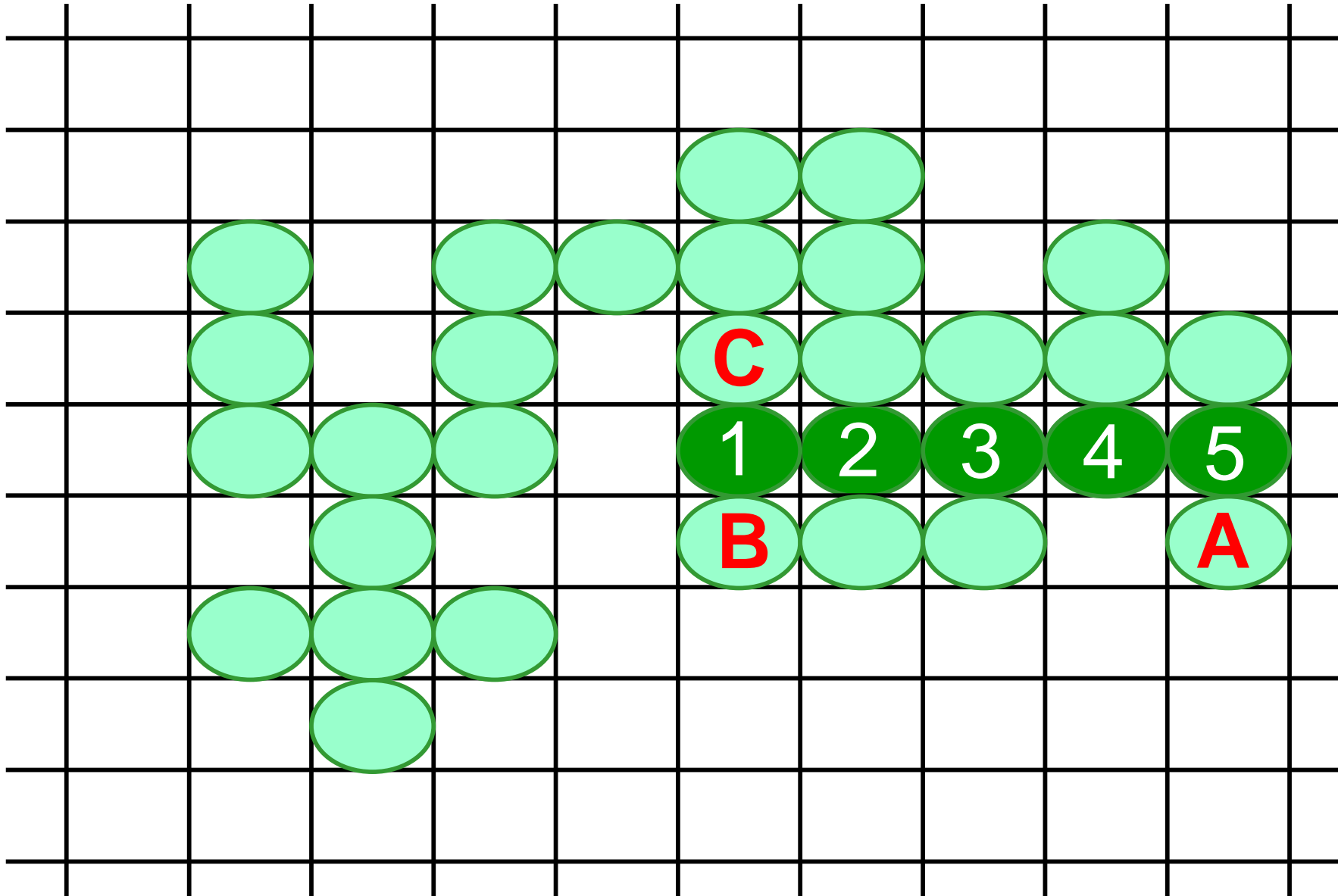
- Bei einer B-Rep wird nur die Oberfläche der Objekte beschrieben.
☒ **wahr** ☐ **falsch**
- CSG-Objekte werden durch die Operatoren Vereinigung, Durchschnitt und Mengendifferenz beschrieben.
☒ **wahr** ☐ **falsch**
- Der einzige Weg um CSG-Objekte zu zeichnen ist sie in BRep-Objekte umzurechnen.
☐ **wahr** ☒ **falsch**
- Ein Szenengraph ist eine genormte Datenstruktur zum Austausch geometrischer Daten.
☐ **wahr** ☒ **falsch**





Stack:
x

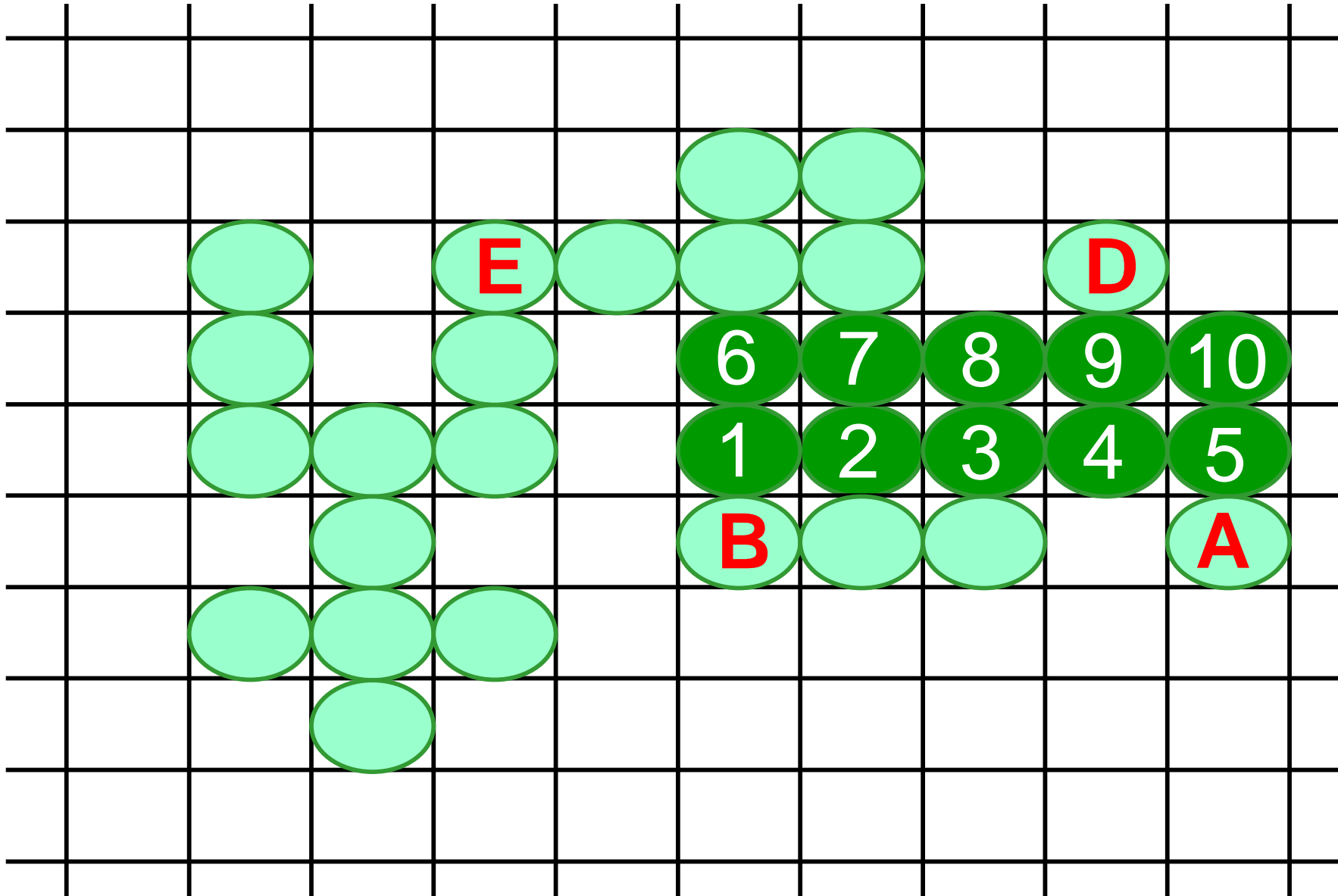




Stack:

~~X~~
A
B
C





Stack:

A

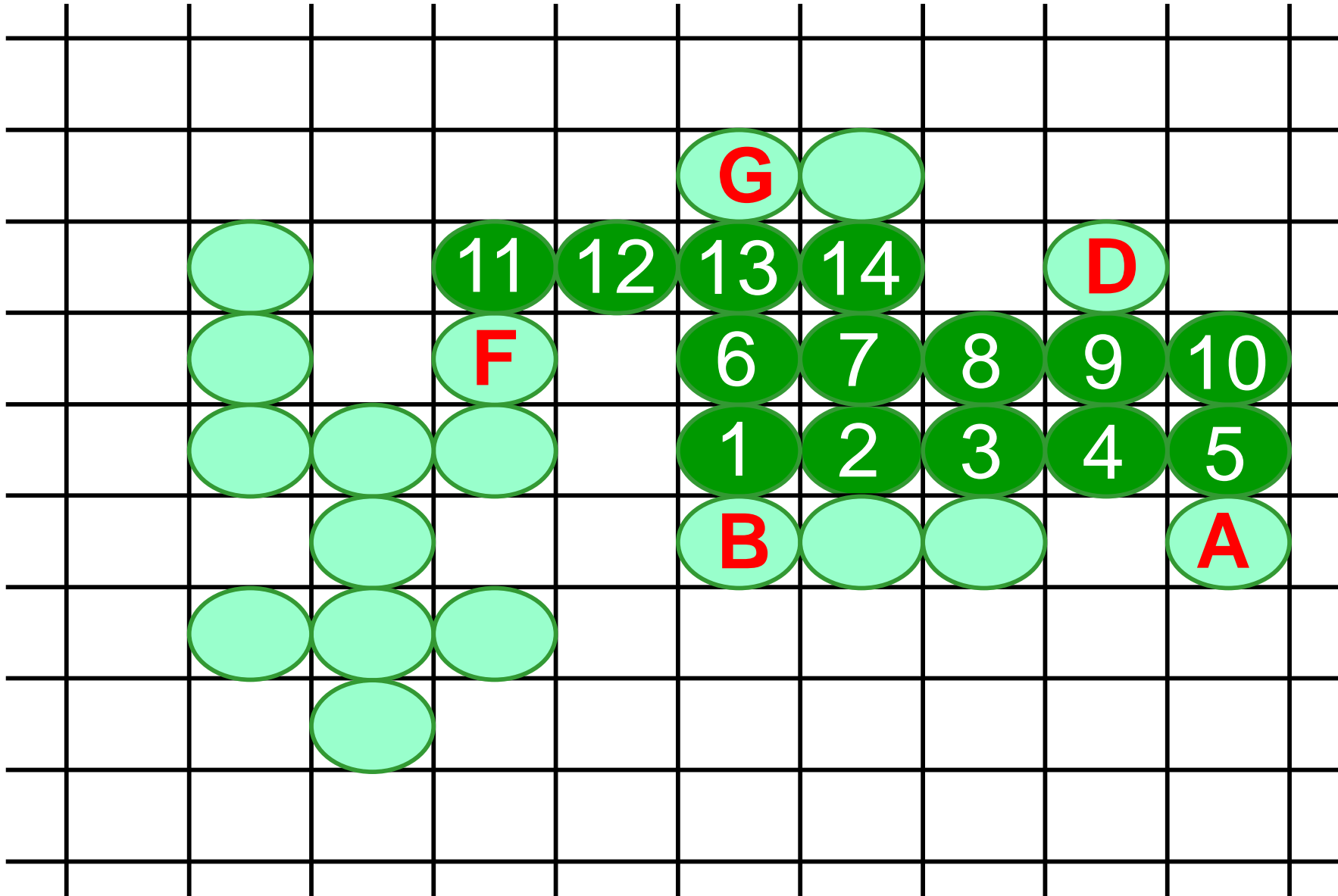
B

~~C~~

D

E

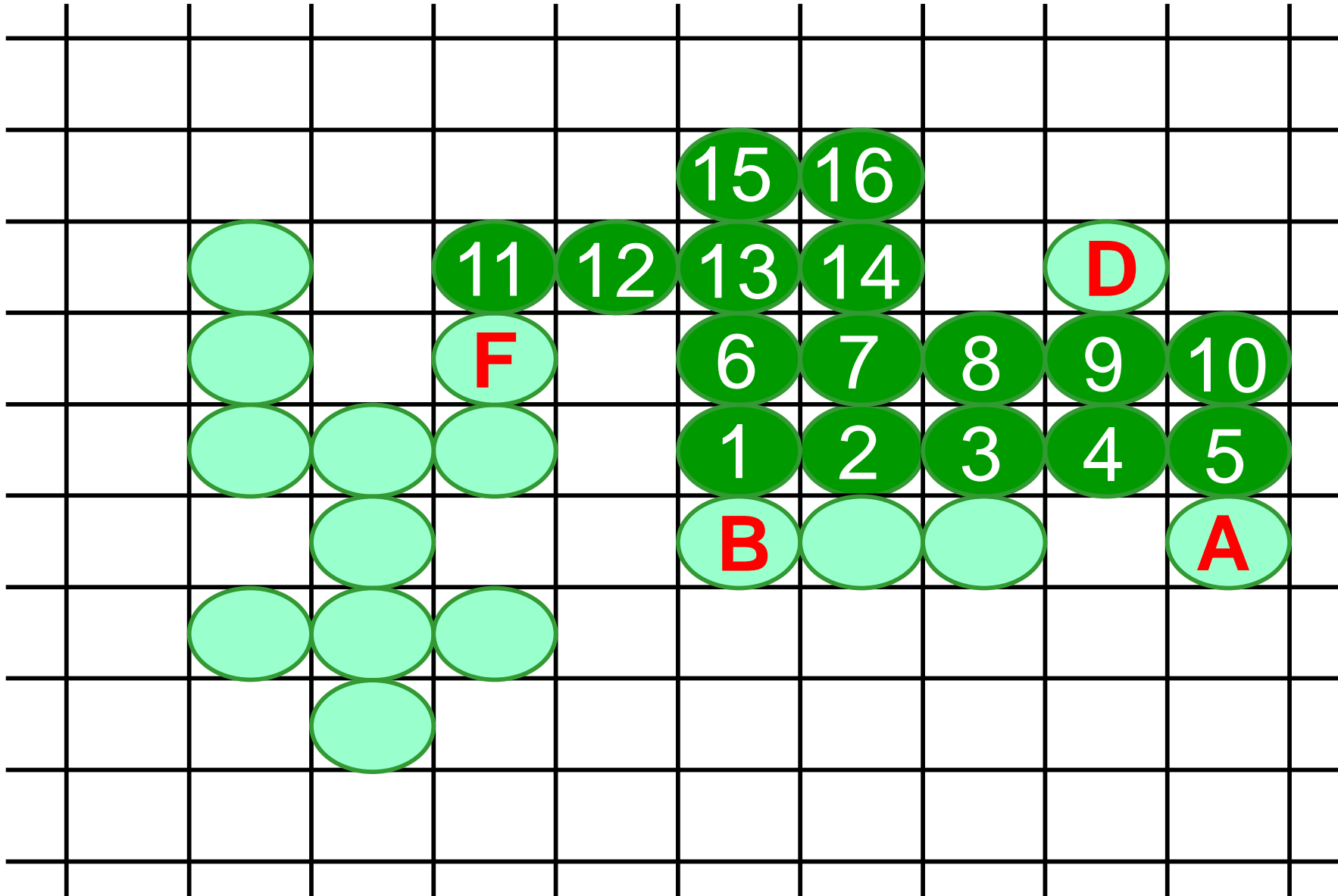




Stack:

A
B
D
~~E~~
F
G





Stack:

A

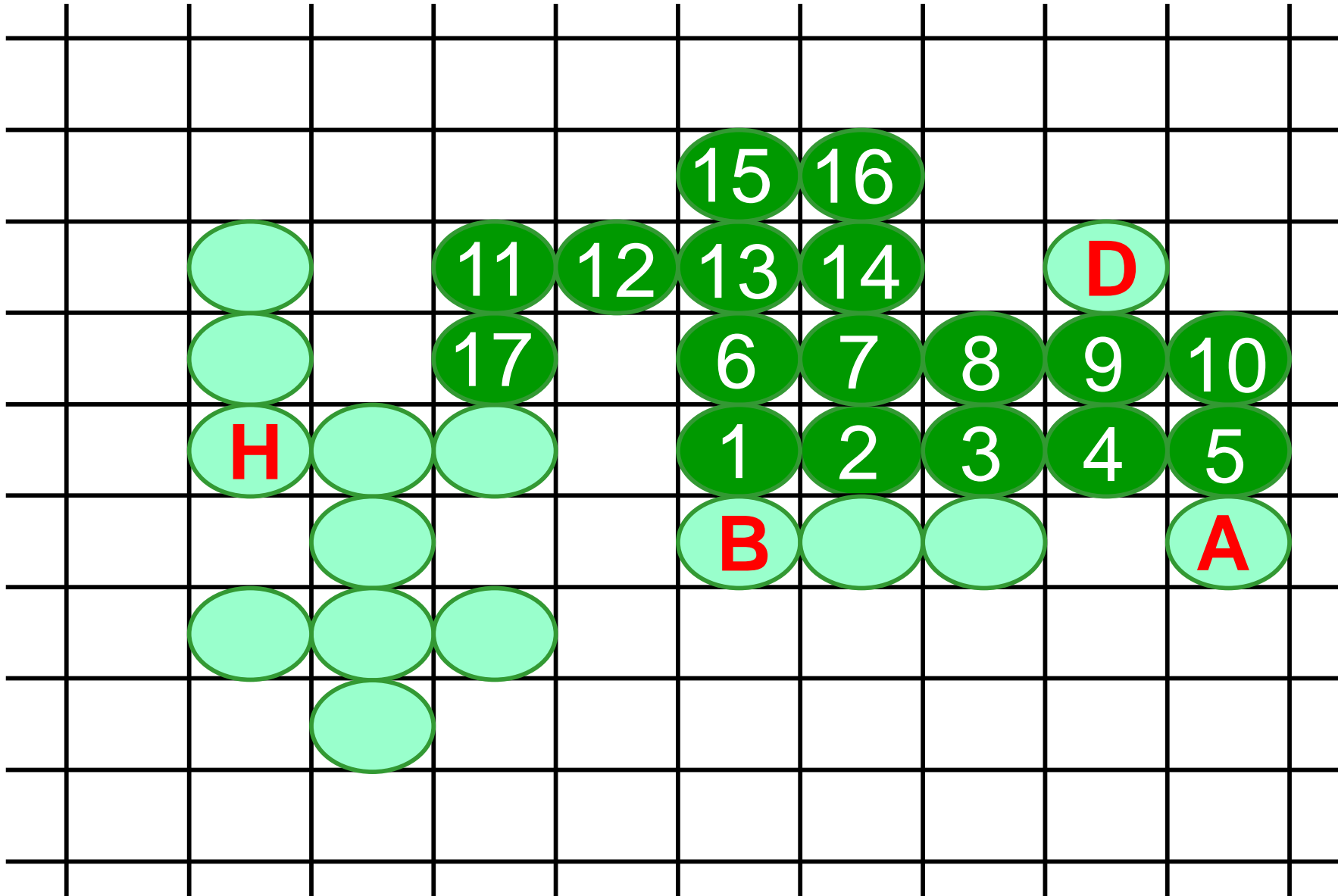
B

D

F

~~G~~





Stack:

A

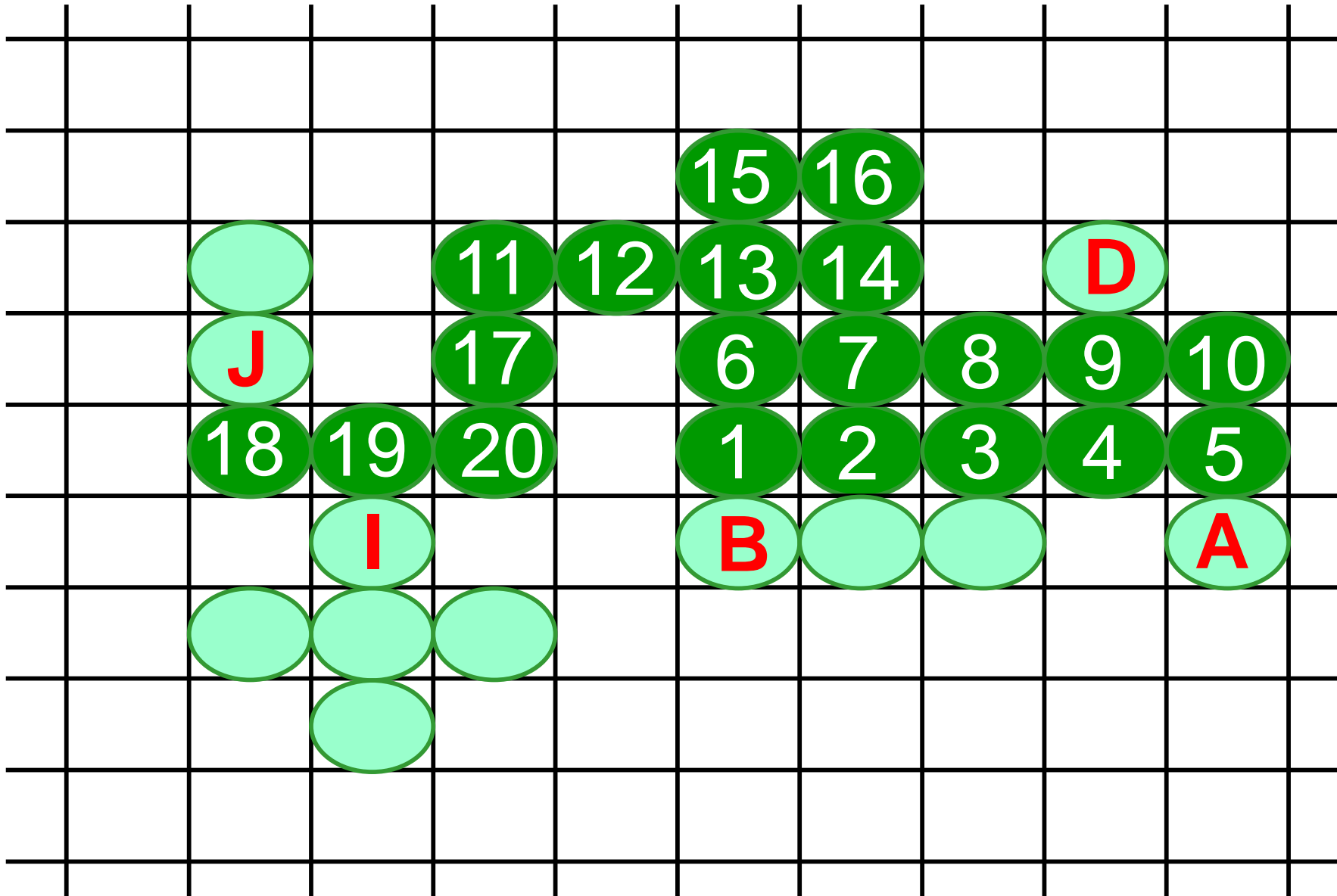
B

D

~~F~~

H





Stack:

A

B

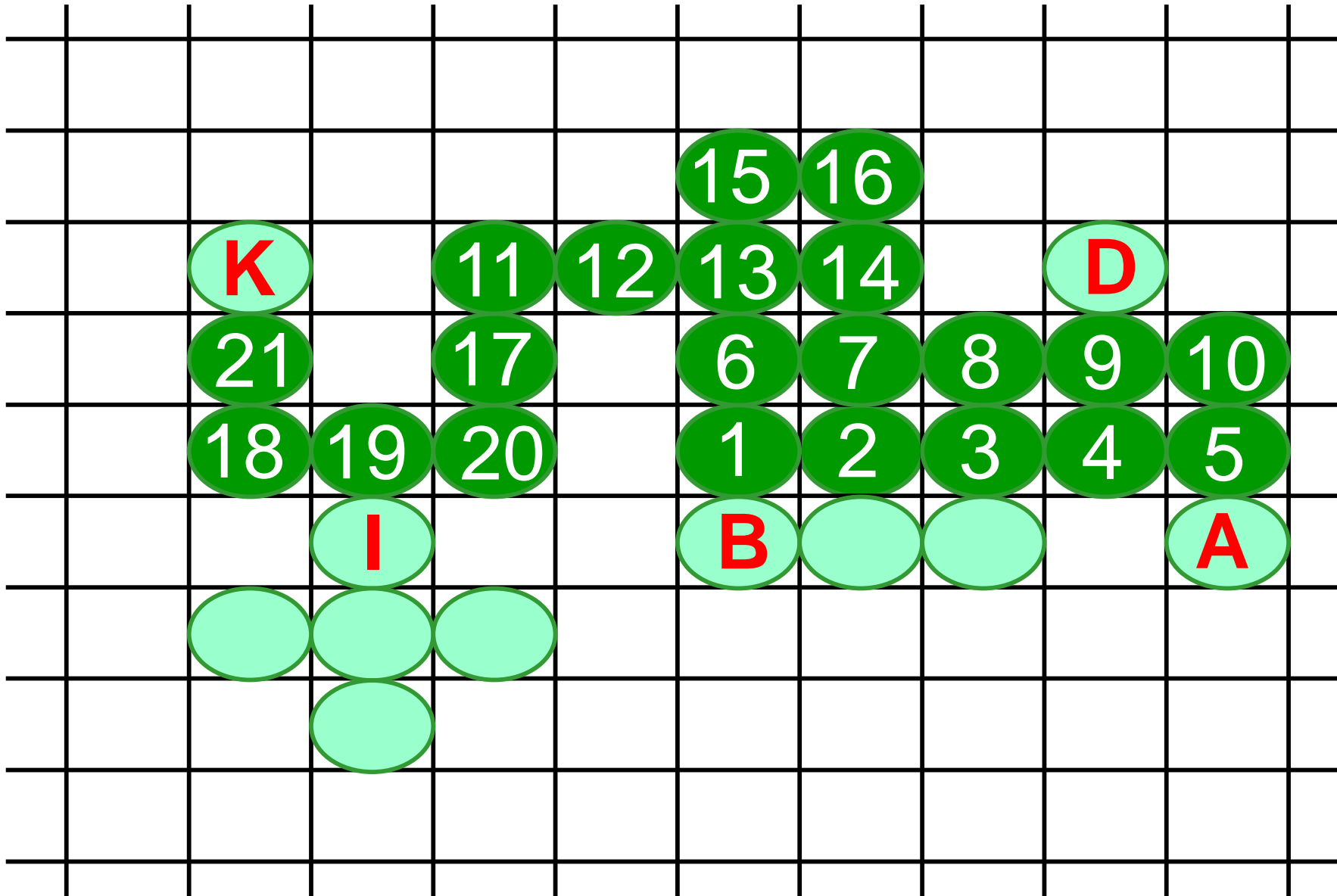
D

~~H~~

I

J





Stack:

A

B

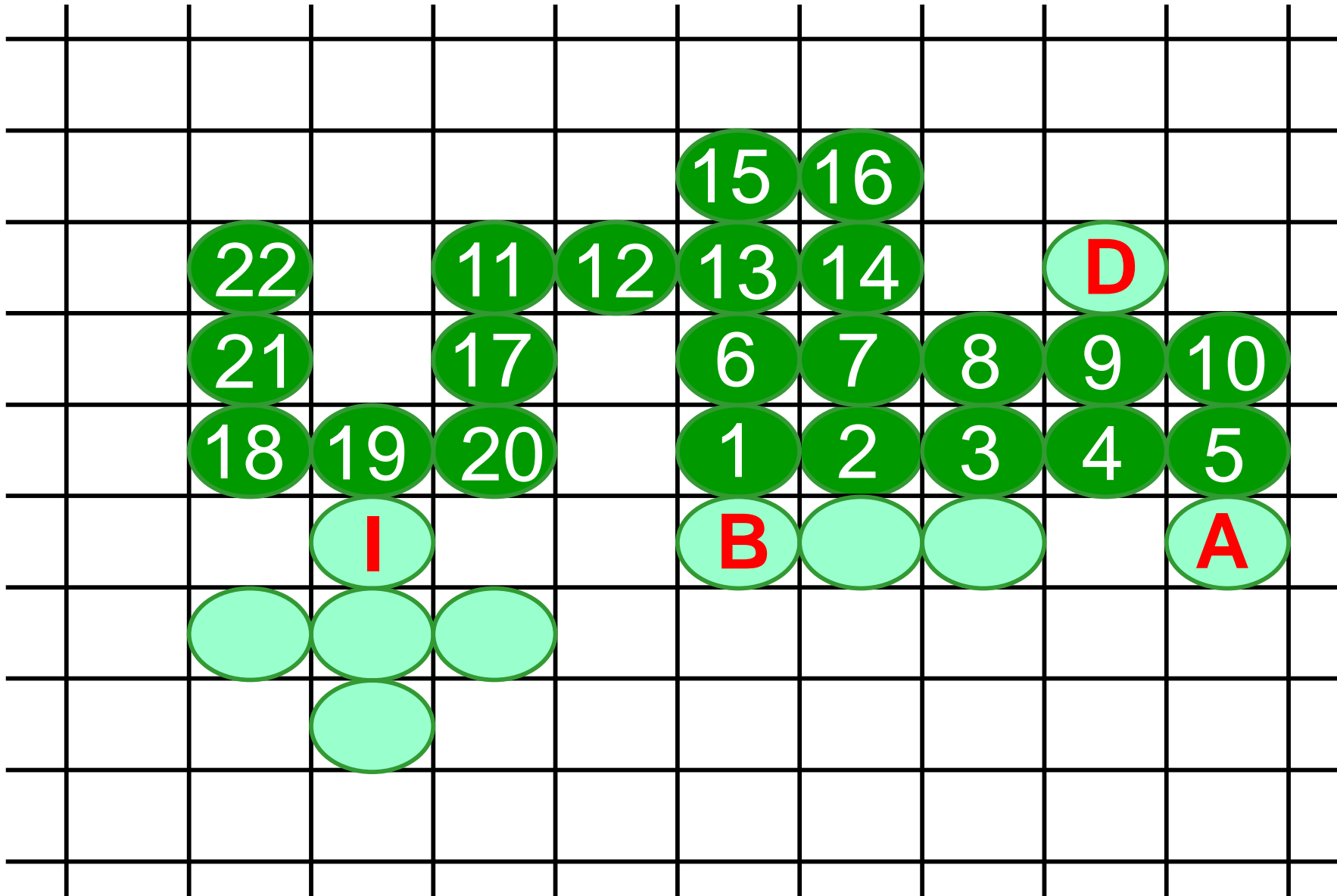
D

I

~~J~~

K





Stack:

A

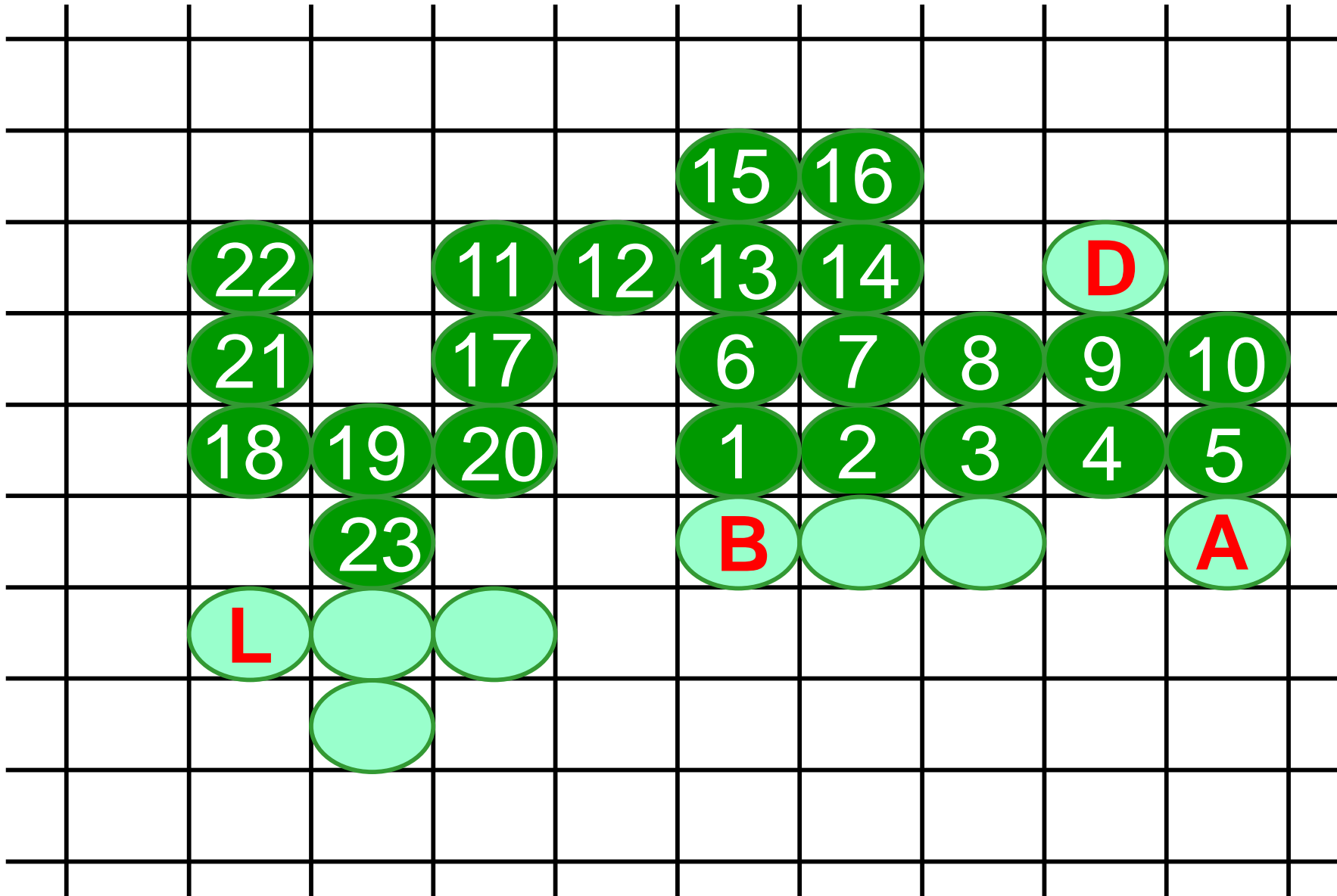
B

D

I

~~K~~





Stack:

A

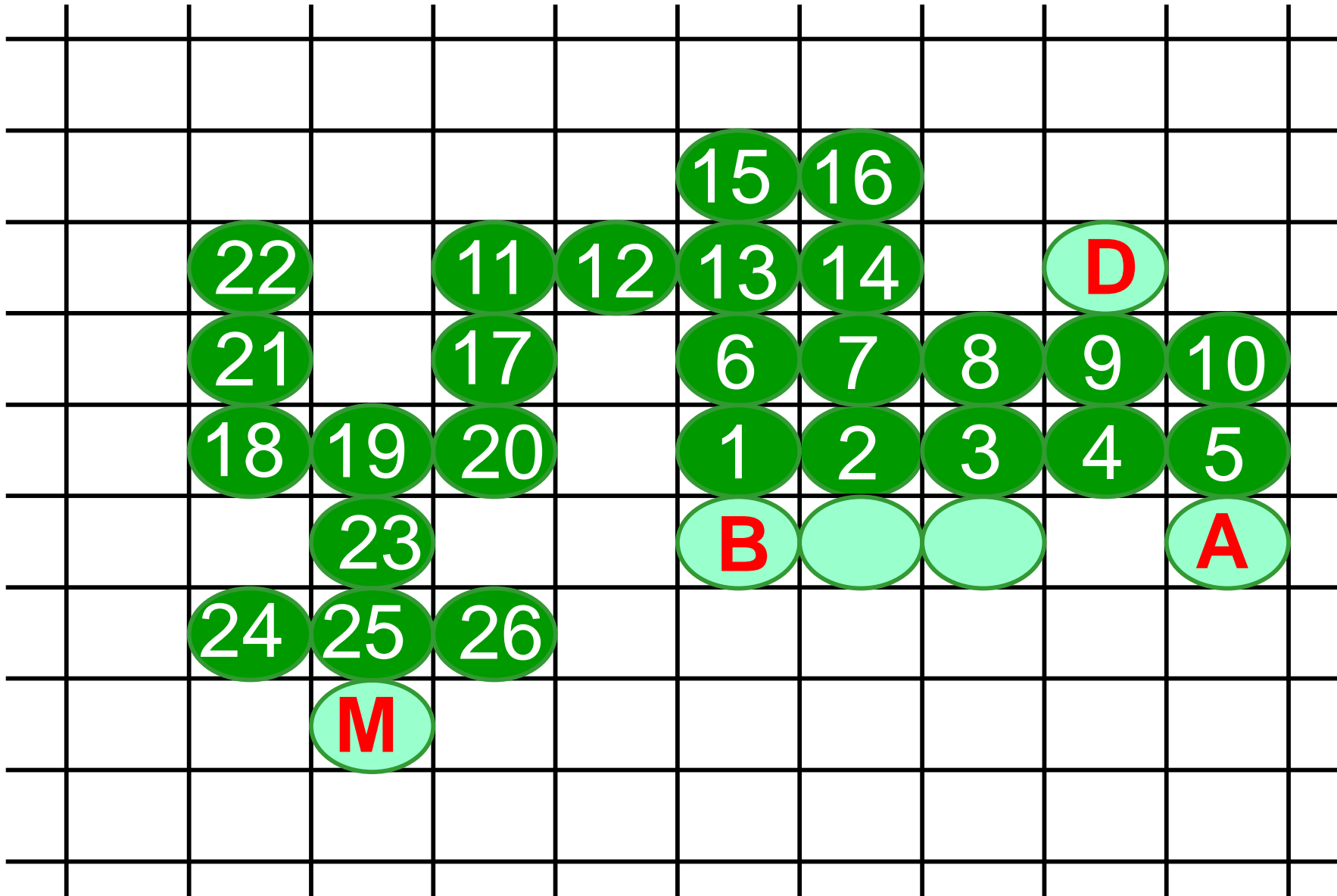
B

D

—|

L





Stack:

A

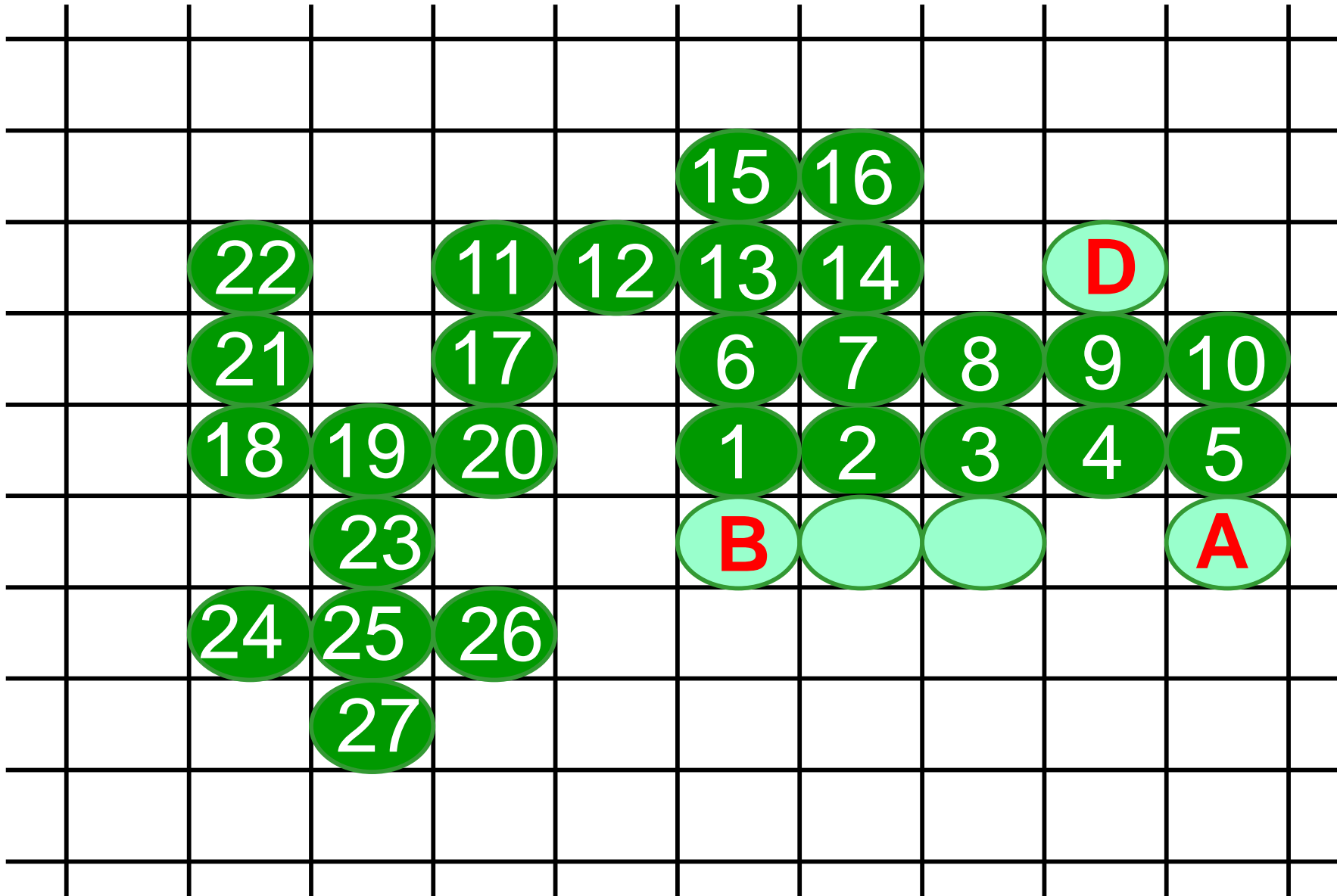
B

D

L

M





Stack:

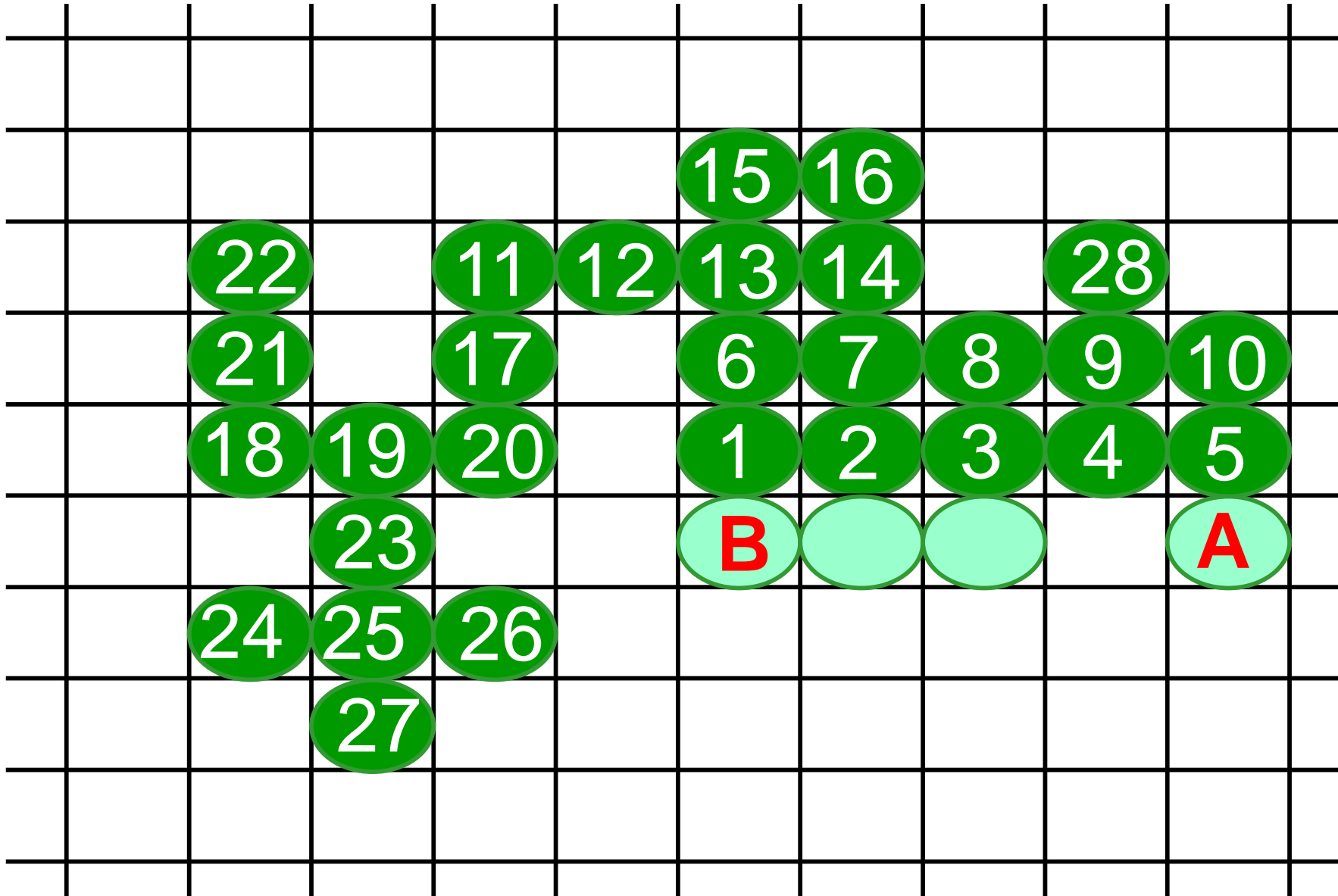
A

B

D

~~M~~





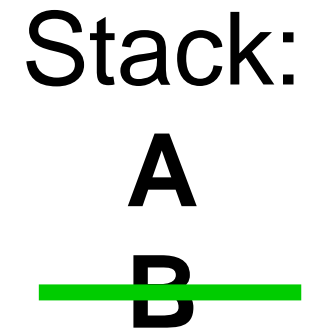
Stack:

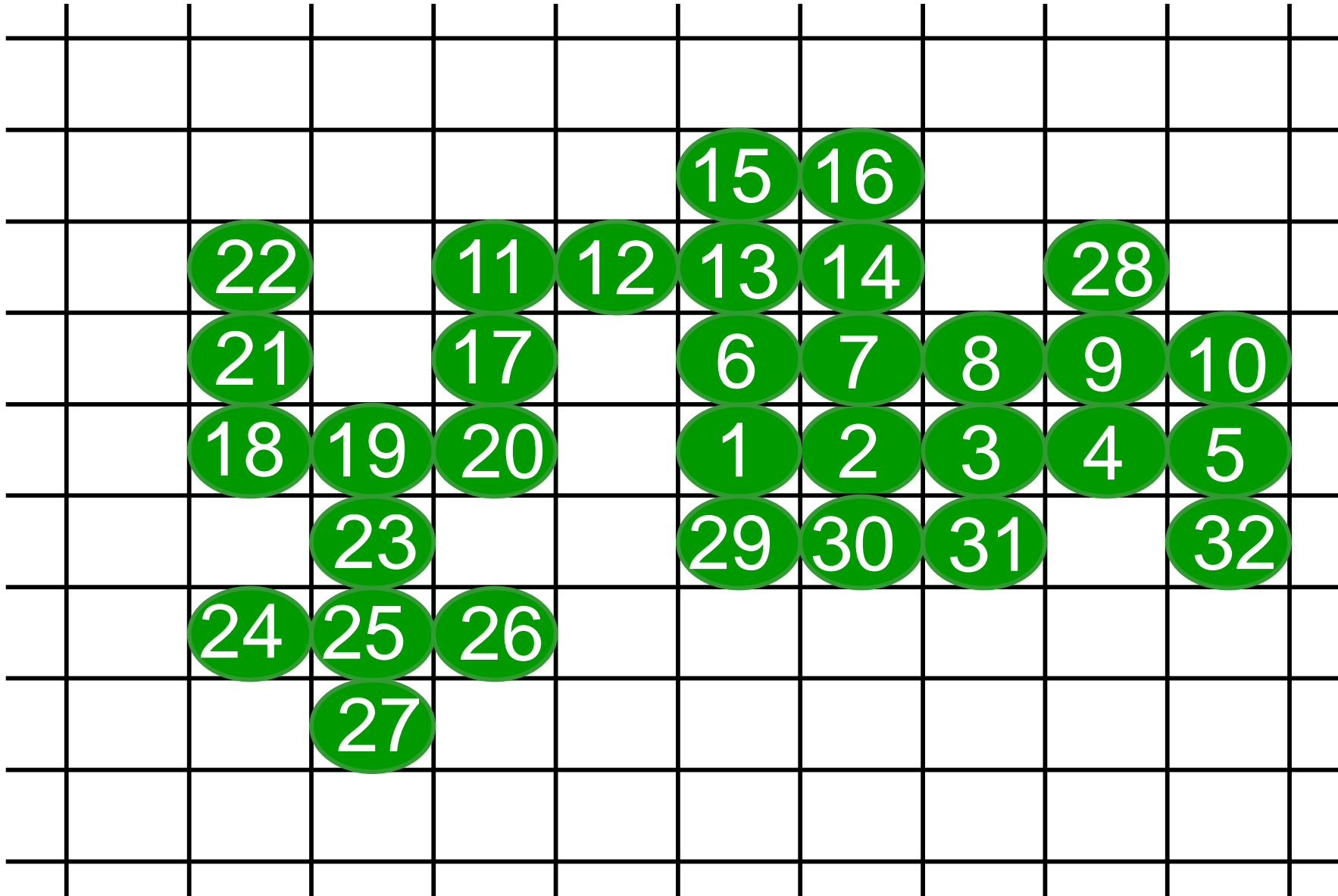
A

B

~~D~~







Stack:
A

fertig!



Multiplikation eines nD-Vektors mit einer $n \times n$ -Matrix bewirkt eine *affine Transformation*:

Kollinearität, Parallelität, Teilverhältnisse bleiben erhalten.

$$A = \begin{bmatrix} a_{11} & a_{12} & \dots & a_{1n} \\ a_{21} & a_{22} & \dots & a_{2n} \\ \dots & & & \dots \\ a_{n1} & a_{n2} & \dots & a_{nn} \end{bmatrix} \quad P = \begin{bmatrix} p_1 \\ p_2 \\ \dots \\ p_n \end{bmatrix} \quad P' = A \cdot P$$

Die *Inverse* A^{-1} einer Matrix A bewirkt: $P = A^{-1} \cdot P'$

Außerdem gilt natürlich $A^{-1} \cdot A = I$, wobei I = die *Einheitsmatrix* ist.

$$I = \begin{bmatrix} 1 & 0 & \dots & 0 \\ 0 & 1 & \dots & 0 \\ \dots & & \ddots & \dots \\ 0 & 0 & \dots & 1 \end{bmatrix}$$



Die **Addition** von Matrizen erfolgt elementweise:

$$\begin{bmatrix} a_{11} & a_{12} & \dots & a_{1n} \\ a_{21} & a_{22} & \dots & a_{2n} \\ \dots & & & \\ a_{n1} & a_{n2} & \dots & a_{nn} \end{bmatrix} + \begin{bmatrix} b_{11} & b_{12} & \dots & b_{1n} \\ b_{21} & b_{22} & \dots & b_{2n} \\ \dots & & & \\ b_{n1} & b_{n2} & \dots & b_{nn} \end{bmatrix} = \begin{bmatrix} a_{11}+b_{11} & a_{12}+b_{12} & \dots & a_{1n}+b_{1n} \\ a_{21}+b_{21} & a_{22}+b_{22} & \dots & a_{2n}+b_{2n} \\ \dots & & & \\ a_{n1}+b_{n1} & a_{n2}+b_{n2} & \dots & a_{nn}+b_{nn} \end{bmatrix}$$

Die **Multiplikation** von Matrizen erfolgt durch skalare Multiplikation von Zeilen- und Spaltenvektoren:

$$\begin{bmatrix} a_{11} & a_{12} & \dots & a_{1n} \\ a_{21} & a_{22} & \dots & a_{2n} \\ \dots & & & \\ a_{n1} & a_{n2} & \dots & a_{nn} \end{bmatrix} \cdot \begin{bmatrix} b_{11} & b_{12} & \dots & b_{1n} \\ b_{21} & b_{22} & \dots & b_{2n} \\ \dots & & & \\ b_{n1} & b_{n2} & \dots & b_{nn} \end{bmatrix} = \begin{bmatrix} c_{11} & c_{12} & \dots & c_{1n} \\ c_{21} & a_{21} \cdot b_{12} + \dots + a_{2n} \cdot b_{n2} & \dots & c_{2n} \\ \dots & & & \\ c_{n1} & c_{n2} & \dots & c_{nn} \end{bmatrix}$$



Für **Matrizen-Addition** gelten:

Assoziativgesetz: $(A+B)+C = A+(B+C)$

Kommutativgesetz: $A+B = B+A$

Für **Matrizen-Multiplikation** gelten:

Assoziativgesetz: $(A \cdot B) \cdot C = A \cdot (B \cdot C)$

Kommutativgesetz NICHT: $A \cdot B \neq B \cdot A$

[Weiters gilt das:
Distributivgesetz: $(A+B) \cdot C = A \cdot C + B \cdot C$ und $A \cdot (B+C) = A \cdot B + A \cdot C$]



Die **Transponierte** A^T einer Matrix A erhält man durch Spiegelung aller Elemente an der Hauptachse:

$$A = \begin{bmatrix} a_{11} & a_{12} & \dots & a_{1n} \\ a_{21} & a_{22} & \dots & a_{2n} \\ \dots & & & \dots \\ a_{n1} & a_{n2} & \dots & a_{nn} \end{bmatrix}$$

$$A^T = \begin{bmatrix} a_{11} & a_{21} & \dots & a_{n1} \\ a_{12} & a_{22} & \dots & a_{n2} \\ \dots & & & \dots \\ a_{1n} & a_{2n} & \dots & a_{nn} \end{bmatrix}$$

Eine **Matritze** gibt es nicht! Ähnliche Begriffe:



Matrize (Druckvorlage)



Matratze

$$\begin{bmatrix} a_{11} & a_{12} & \dots & a_{1n} \\ a_{21} & a_{22} & \dots & a_{2n} \\ \dots & & & \dots \\ a_{n1} & a_{n2} & \dots & a_{nn} \end{bmatrix}$$

Matrix



Ein Turm mit dem Mittelpunkt seiner Grundfläche an der Stelle $(0,0,0)$ soll in der Höhe um den Faktor 3 vergrößert werden, danach um seine senkrechte Achse um den Winkel 60° gegen den Uhrzeigersinn rotiert werden und schließlich um 20 (Meter) vom Betrachter weg geschoben werden. Der Betrachter schaut wie üblich in $-z$ -Richtung waagrecht zum Turm, auch die x -Achse ist horizontal. *Berechnen Sie die Transformationsmatrix!*

x -Achse und z -Achse waagrecht, daher y -Achse senkrecht

T_1 : Skalierung um 3 in y -Richtung

T_2 : Drehung um 60° um y -Achse in math. positive Richtung

T_3 : Verschieben in negative z -Richtung um 20



Beispiel Transformation (2)

Skalierung (1,3,1), y-Rotation +60°, Translation (0,0,-20)

$$1. M_1 = S(1,3,1) = \begin{bmatrix} 1 & 0 & 0 & 0 \\ 0 & 3 & 0 & 0 \\ 0 & 0 & 1 & 0 \\ 0 & 0 & 0 & 1 \end{bmatrix}$$

$$2. M_2 = R_y(+60^\circ) = \begin{bmatrix} 1/2 & 0 & \sqrt{3}/2 & 0 \\ 0 & 1 & 0 & 0 \\ -\sqrt{3}/2 & 0 & 1/2 & 0 \\ 0 & 0 & 0 & 1 \end{bmatrix}$$

$$3. M_3 = T(0,0,-20) = \begin{bmatrix} 1 & 0 & 0 & 0 \\ 0 & 1 & 0 & 0 \\ 0 & 0 & 1 & -20 \\ 0 & 0 & 0 & 1 \end{bmatrix}$$

$$\begin{bmatrix} \cos \theta & 0 & \sin \theta & 0 \\ 0 & 1 & 0 & 0 \\ -\sin \theta & 0 & \cos \theta & 0 \\ 0 & 0 & 0 & 1 \end{bmatrix}$$

$$M = M_3 \cdot M_2 \cdot M_1$$



Beispiel Transformation (3)

Skalierung (1,3,1), y-Rotation +60°, Translation (0,0,-20)

$$\begin{aligned} M &= \begin{bmatrix} 1 & 0 & 0 & 0 \\ 0 & 1 & 0 & 0 \\ 0 & 0 & 1 & -20 \\ 0 & 0 & 0 & 1 \end{bmatrix} \cdot \begin{bmatrix} 1/2 & 0 & \sqrt{3}/2 & 0 \\ 0 & 1 & 0 & 0 \\ -\sqrt{3}/2 & 0 & 1/2 & 0 \\ 0 & 0 & 0 & 1 \end{bmatrix} \cdot \begin{bmatrix} 1 & 0 & 0 & 0 \\ 0 & 3 & 0 & 0 \\ 0 & 0 & 1 & 0 \\ 0 & 0 & 0 & 1 \end{bmatrix} = \\ &= \begin{bmatrix} 1/2 & 0 & \sqrt{3}/2 & 0 \\ 0 & 1 & 0 & 0 \\ -\sqrt{3}/2 & 0 & 1/2 & -20 \\ 0 & 0 & 0 & 1 \end{bmatrix} \cdot \begin{bmatrix} 1 & 0 & 0 & 0 \\ 0 & 3 & 0 & 0 \\ 0 & 0 & 1 & 0 \\ 0 & 0 & 0 & 1 \end{bmatrix} = \\ &= \begin{bmatrix} 1/2 & 0 & \sqrt{3}/2 & 0 \\ 0 & 3 & 0 & 0 \\ -\sqrt{3}/2 & 0 & 1/2 & -20 \\ 0 & 0 & 0 & 1 \end{bmatrix} \end{aligned}$$

$$M = M_3 \cdot M_2 \cdot M_1$$



$$V_1 = \begin{pmatrix} a_1 \\ b_1 \\ c_1 \end{pmatrix} \quad V_2 = \begin{pmatrix} a_2 \\ b_2 \\ c_2 \end{pmatrix}$$

■ *scalar product:*

$$V_1 \cdot V_2 = ?$$

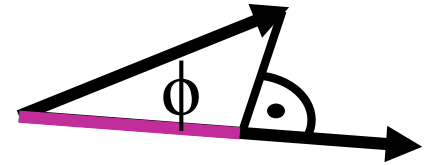
■ *cross product (vector product):*

$$V_1 \times V_2 = ?$$



■ *scalar product:*

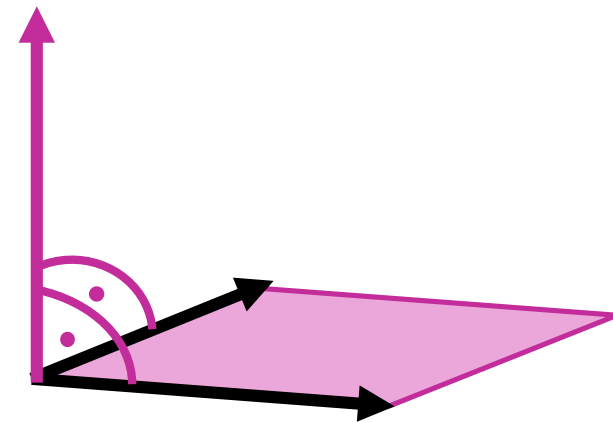
$$\mathbf{V}_1 \cdot \mathbf{V}_2 = \begin{pmatrix} a_1 \\ b_1 \\ c_1 \end{pmatrix} \cdot \begin{pmatrix} a_2 \\ b_2 \\ c_2 \end{pmatrix} = a_1 a_2 + b_1 b_2 + c_1 c_2$$



$$\mathbf{V}_1 \cdot \mathbf{V}_2 = |\mathbf{V}_1| |\mathbf{V}_2| \cos \phi$$

■ *cross product (vector product):*

$$\mathbf{V}_1 \times \mathbf{V}_2 = \begin{pmatrix} a_1 \\ b_1 \\ c_1 \end{pmatrix} \times \begin{pmatrix} a_2 \\ b_2 \\ c_2 \end{pmatrix} = \begin{pmatrix} b_1 c_2 - c_1 b_2 \\ c_1 a_2 - a_1 c_2 \\ a_1 b_2 - b_1 a_2 \end{pmatrix}$$

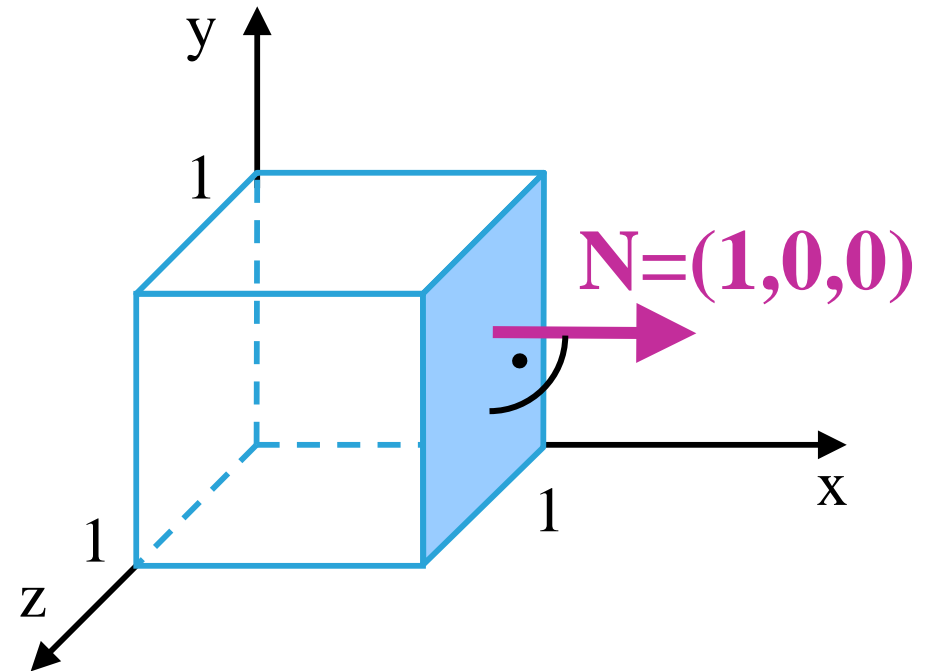
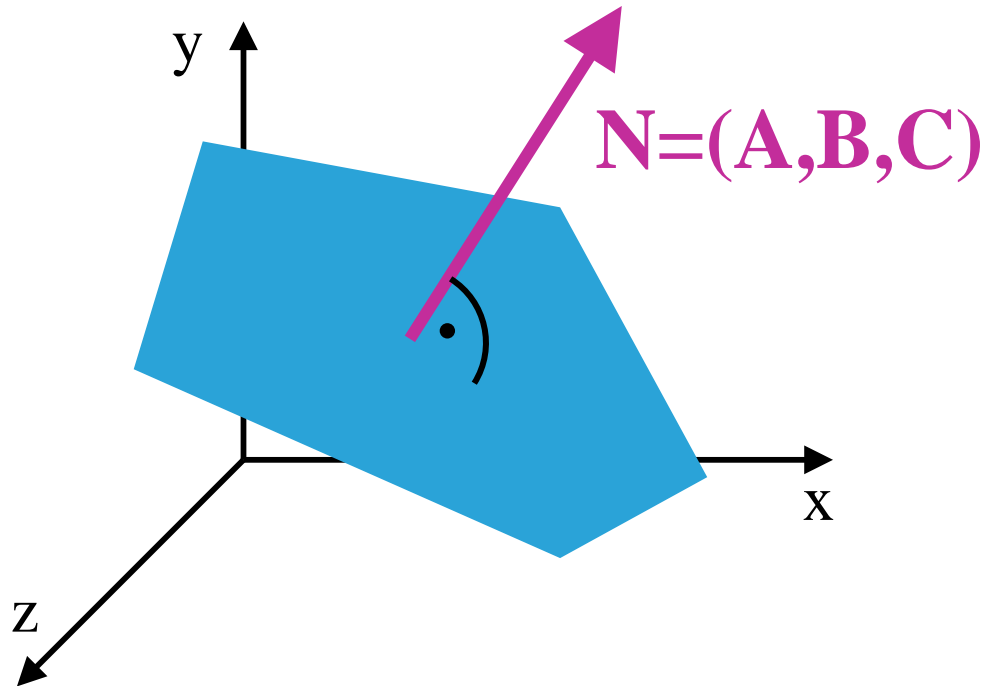


$$|\mathbf{V}_1 \times \mathbf{V}_2| = |\mathbf{V}_1| |\mathbf{V}_2| \sin \phi$$



$$\mathbf{A}x + \mathbf{B}y + \mathbf{C}z + \mathbf{D} = 0$$

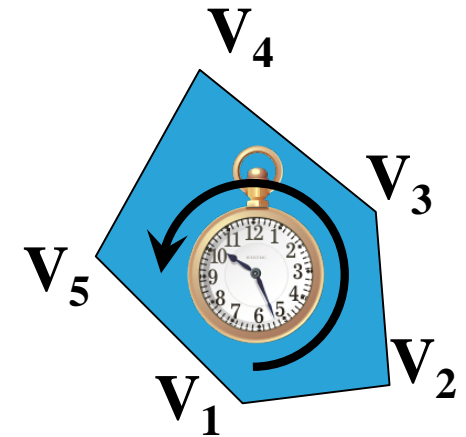
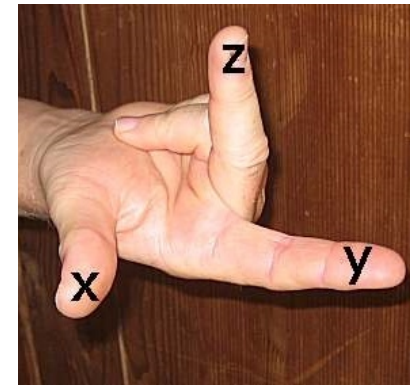
- plane parameters $\mathbf{A}, \mathbf{B}, \mathbf{C}, \mathbf{D}$
- normal $(\mathbf{A}, \mathbf{B}, \mathbf{C})$



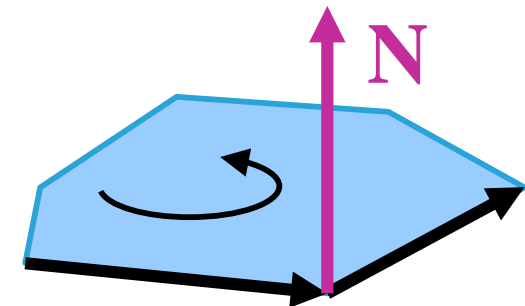
Front and Back Polygon Faces

$Ax + By + Cz + D = 0$ for points on the surface
 < 0 for points behind
 > 0 for points in front

if (1) right-handed coordinate system
(2) polygon points are
ordered counterclockwise



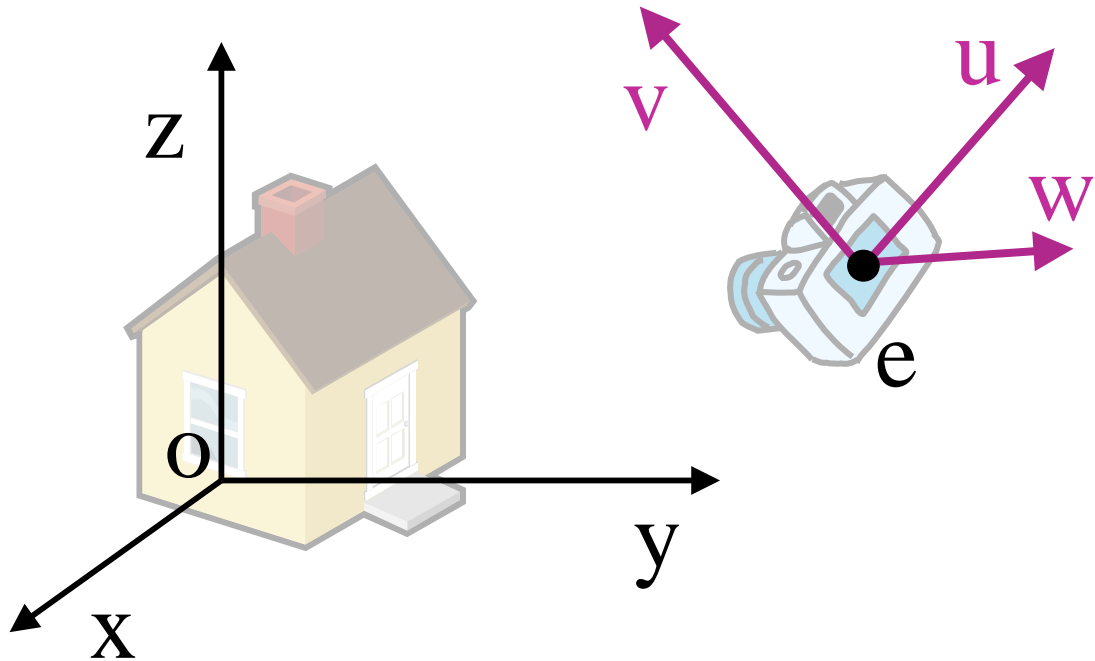
V_1, V_2, V_3 counterclockwise \Rightarrow
normal vector $\mathbf{N} = (\mathbf{V}_2 - \mathbf{V}_1) \times (\mathbf{V}_3 - \mathbf{V}_2)$



Eine Kamera liegt im Punkt $(3,4,5)$ und blickt auf den Punkt $(3,2,1)$. Geben Sie die normalisierten Achsen des Kamerakoordinatensystems an, wenn die senkrechte Achse der Weltkoordinaten nach oben (z) zeigt.



- view reference point
 - origin of camera coordinate system
 - gaze direction or look-at point



*right-handed camera-coordinate system,
with axes u , v , w , relative to
world-coordinate scene*



e ... eye position

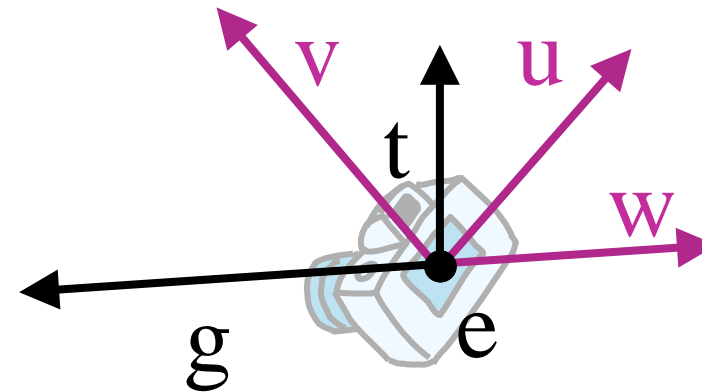
g ... gaze direction (positive w-axis points to the viewer)

t ... view-up vector

$$w = -\frac{g}{|g|}$$

$$u = \frac{t \times w}{|t \times w|}$$

$$v = w \times u$$



Eine Kamera liegt im Punkt (3,5,5) und blickt auf den Punkt (3,2,1). Geben Sie die normalisierten Achsen des Kamerakoordinatensystems an, wenn die senkrechte Achse der Weltkoordinaten nach oben (z) zeigt.

$$g = (3, 2, 1) - (3, 5, 5) = (0, -3, -4) \qquad |g| = \sqrt{0^2 + 3^2 + 4^2} = 5$$

$$w = -g / |g| = (0, 3, 4) / 5 = \underline{(0, 3/5, 4/5)}$$

$$t = (0, 0, 1)$$

$$t \times w = \begin{bmatrix} 0 \\ 0 \\ 1 \end{bmatrix} \times \begin{bmatrix} 0 \\ 3/5 \\ 4/5 \end{bmatrix} = \begin{bmatrix} -3/5 \\ 0 \\ 0 \end{bmatrix}$$

$$u = t \times w / |t \times w| = (-3/5, 0, 0) / 3/5 = \underline{(-1, 0, 0)}$$

$$v = w \times u = \begin{bmatrix} 0 \\ 3/5 \\ 4/5 \end{bmatrix} \times \begin{bmatrix} -1 \\ 0 \\ 0 \end{bmatrix} = \begin{bmatrix} 0 \\ -4/5 \\ 3/5 \end{bmatrix} = \underline{(0, -4/5, 3/5)}$$

